

บทที่ 2

ทฤษฎีและการตรวจเอกสาร

2.1 ยางธรรมชาติ (Natural Rubber) (ชัยยุทธ และเดศสมรงค์, 2543)

น้ำยางธรรมชาติได้มาจากการดันยางพาราซึ่งโครงสร้างทางเคมีของโนเมเลกุลของยางธรรมชาตินั้นประกอบด้วยหน่วยที่เล็กที่สุด เรียกว่า ไอโซพรีน (isoprene unit) ซึ่งมีประมาณ 3,000-10,000 หน่วย ต่อเชื่อมกันเป็นโพลิเมอร์ที่มีโนเมเลกุลใหญ่ การเชื่อมต่อ กันเป็นสายโซ่สามารถ เชื่อมต่อ กันได้ 2 แบบ คือแบบ cis 1,4-polyisoprene เป็นโครงสร้างส่วนใหญ่ของ น้ำยางธรรมชาติ ซึ่งจะได้มาจากการดันยางที่เรียกว่า Hevea Brasiliensis และ trans 1,4-polyisoprene เป็นโครงสร้างส่วนใหญ่ของน้ำยางธรรมชาติซึ่งจะได้มาจากการดันยางที่เรียกว่า Gutta percha และ Balata นอกจากนี้ในน้ำยางสดยังมีส่วนประกอบที่ไม่ใช่ยาง เช่น กรดอะมิโน โปรตีน คาร์โนไไซเดรต ไขมัน และสารอนินทรีย์ สมบัติของยางธรรมชาติคือ มีความยืดหยุ่นสูง อธิบายได้จากโครงสร้างของหน่วยไอโซพรีนที่เชื่อมต่อ กันเป็นโนเมเลกุลของยางธรรมชาตินั้น ไม่รวมหรือเชื่อมกันเป็นเส้นตรงโดย โนเมเลกุลนั้นจะม้วนคล ไปปองมาและปลายสุดของโนเมเลกุลจะอยู่ชิดกันที่น้ำหนักของโนเมเลกุลสูง ($1.6 \times 10^6 - 2.3 \times 10^6$ Dalton) ยางธรรมชาติจะเปลี่ยนแปลงคุณภาพได้ง่ายคือ จะแข็งเหนียวเมื่ออยู่ ที่เย็น และอ่อนเย็นเมื่อได้รับความร้อน โดยที่ยางธรรมชาติจะละลายที่กรีดใหม่นั้นน้ำยางสดจะเป็น ของเหลวสีขาวอยู่ในสภาพที่เรียกว่า สารแวนดอย สามารถไหลได้เอง โดยอิสระมีความหนืด ประมาณ 12-15 cp pH 6.5-7.0 ความหนาแน่นประมาณ $0.975-0.980 \text{ g/cm}^3$ เรียกสภาพนี้ว่า ความเมื่นน้ำยาง หากสภาพเหล่านี้เสียไปจะเรียกว่า น้ำยางเสีย หรือน้ำยางเน่า การรักษาสภาพของ น้ำยางทำได้โดยการเติมสารเคมี เช่น แอนโนเนนิ หรือแอนโนเนนิร่วมกับสารอื่น ๆ โดย องค์ประกอบของน้ำยางสด แสดงได้ดังตารางที่ 1 ซึ่งจะพบว่า น้ำยางสดมีปริมาณเนื้อยางน้อยจึงไม่ เหมาะสมกับการทำผลิตภัณฑ์และสิ่งปลูกปลูกค่าใช้จ่ายในการขนส่ง จึงต้องมีการดึงน้ำออกจากน้ำยาง สดก่อนจะมีเนื้อยางร้อยละ 60 น้ำยางที่ได้นี้เรียกว่า น้ำยางข้น (concentrated latex) ซึ่งใช้เป็นน้ำยาง ตั้งต้นในการนำไปผลิตเป็นผลิตภัณฑ์ต่าง ๆ ต่อไป

ตารางที่ 1 องค์ประกอบของน้ำยางสุด (Nor and Ebdon, 1998)

องค์ประกอบ	สัดส่วน (%)
สารที่อยู่ในรูปของแข็ง (TSC รวม DRC)	36
สารพอกโปรตีน	1-1.5
สารพอกเรซิน	1-1.5
สารที่ให้ชีวิต้า	น้อยกว่า 1
น้ำตาล	1
น้ำ	ส่วนที่เหลือประมาณ 60

2.1.1 ชนิดของน้ำยางธรรมชาติ

น้ำยางธรรมชาติที่มีความสำคัญในอุตสาหกรรม เป็นน้ำยางธรรมชาติที่ได้ผ่านกระบวนการทำให้เป็นน้ำยางขัน (concentrating process) แล้วโดยใช้วิธีโดยวิธีนี้ได้แก่ การทำครีม (creaming process) การระเหยน้ำ (evaporating—process) และการใช้เครื่องปั่น (centrifuging process) อย่างไรก็ตามน้ำยางขันที่ผลิตจากกรรมวิธีการใช้เครื่องปั่นเป็นน้ำยางขันที่มีปริมาณการผลิตมากกว่าร้อยละ 90 ของปริมาณการผลิตน้ำยางขันทั้งหมด และโดยเฉพาะอย่างยิ่งน้ำยางขันที่ผลิตในประเทศไทยจะเป็นน้ำยางขันจากกรรมวิธีที่ผลิตโดยใช้เครื่องปั่นเพียงอย่างเดียว น้ำยางขันที่ผลิตโดยวิธีการปั่นของประเทศไทยในปัจจุบันเป็นน้ำยางขันชนิดแอมโมเนียสูง (high ammonia, HA) และน้ำยางขันชนิดแอมโมเนียต่ำ (low ammonia, LA)

2.1.2 สมบัติและการใช้งานของน้ำยางขัน (วรากรัฟ, 2549)

1. น้ำยางขันจากการปั่นชนิดแอมโมเนียสูง (high ammonia, HA) น้ำยางขันชนิดนี้ เป็นชนิดที่ผลิตกันอย่างกว้างขวาง และมีข้อได้เปรียบกว่าน้ำยางขันชนิดอื่น ๆ ในด้านการใช้แอมโมเนียซึ่งเป็นสารเคมีที่ระเหยง่ายเพียงอย่างเดียวในการรักษาสภาพ ดังนั้นน้ำยางขันชนิดนี้จึงใช้ในงานผลิตผลิตภัณฑ์ที่จะใช้สัมผัสกับอาหาร และผลิตภัณฑ์ทางการแพทย์ได้ ข้อเสียของน้ำยางขันชนิดนี้คือ กลิ่นคุนของแอมโมเนีย และจำเป็นต้องไล่แอมโมเนียออกในขณะการนำไปใช้เป็นผลิตภัณฑ์

2. น้ำยางขันชนิดแอมโมเนียต่ำ (low ammonia, LA) น้ำยางขันจากการปั่นชนิดที่รักษาสภาพด้วยแอมโมเนียต่ำมีการผลิตจำหน่ายในบางประเทศในรูปแบบต่าง ๆ ดังนี้

2.1 น้ำยาขันแผล โนเนียคั่ชันิด LA-TZ เป็นน้ำยาขันชนิดแผล โนเนียคั่ชันิดที่มีการใช้งานกันอย่างกว้างขวางที่สุดในกลุ่มนี้ การรักษาสภาพใช้สารเคมีผสมระหว่างไทูรัม (Tetramethylthiuram disulphide) กับซิงค์ออกไซด์ (Zinc oxide) ร่วมกับสารเคมีหลักคือ แอลู โนเนีย

2.2 น้ำยาขันแผล โนเนียคั่ชันิด LA-SPP น้ำยาขันชนิดนี้มีความเสถียรของสถานะ colloidal (colloid) ของน้ำยาคือที่สุด มีความเสถียรทางกลและความเสถียรทางเคมีมาก ดังนี้จะเห็นในงานชิ้นรูปที่ในกระบวนการผลิตที่ต้องการคุณสมบัติเหล่านี้ได้แก่ บางฟองน้ำรองพรมเป็นคัน ข้อเสียของน้ำยาขันชนิดนี้คือ สีของผลผลิตคล้ำกว่าน้ำยาขันจากการปั้นที่รักษาสภาพด้วยระบบอื่น ๆ และมีข้อจำกัดในการนำไปใช้งานด้านการผลิตผลิตภัณฑ์ทางการแพทย์ของบางประเทศโดยเฉพาะอย่างยิ่งในประเทศไทย การรักษาสภาพของน้ำยาขันแผล โนเนียคั่ชันิด LA-SPP ใช้โซเดียมเพนทาคลอโรฟีเนต (Sodium pentachlorophenate) ร่วมกับสารเคมีหลักคือ แอลู โนเนีย

2.3 น้ำยาขันแผล โนเนียคั่ชันิด LA-ZDC การผลิตน้ำยาขันชนิดนี้ใช้สารเคมีที่เรียกว่า ซิงค์ ไดเอธิลไดไทโอดีคาร์บามेट (Zinc diethyldithiocarbamate, ZDC) เป็นสารเคมีสำหรับรักษาสภาพร่วมกับแอลู โนเนีย โดยมีส่วนคล้ายคลึงกับน้ำยาขันชนิดแอลู โนเนียสูง และมีการใช้ประโยชน์อย่างกว้างขวางเนื่องจาก ZDC เป็นสารที่ยอมรับในวงการทำผลิตภัณฑ์ที่ต้องสัมผัสน้ำยาและผลิตภัณฑ์ทางการแพทย์

2.4 น้ำยาขันแผล โนเนียคั่ชันิด LA-BA น้ำยาขันชนิดนี้ใช้กรดอริก (Boric acid) เป็นสารเคมีสำหรับรักษาสภาพร่วมกับแอลู โนเนีย น้ำยาขันชนิดนี้มีสีค่อนข้างขาวกว่าพากน้ำยาขันชนิดแอลู โนเนียสูง หรือ LA-ZDC ดังนั้นจึงมักใช้กันในโรงพยาบาลที่ต้องการสีขาว ๆ แต่น้ำยาขันชนิดนี้มีความเสถียรค่อนข้างดีกว่าน้ำยาที่รักษาสภาพด้วยสารเคมีระบบอื่น ๆ

3. น้ำยาขันจากการปั้นซ้ำ (doubly centrifuged latex) น้ำยาขันจากการปั้นซ้ำมีคุณสมบัติพิเศษคือ มีส่วนของสารที่ไม่ใช่ยางค่าซึ่งทำให้น้ำยาขันนี้สามารถรักษาสภาพร่วมกับแอลู โนเนียสูง หรือ LA-ZDC ดังนั้นจึงมักใช้กันในโรงพยาบาลที่ต้องการสีขาว ๆ แต่น้ำยาขันชนิดนี้มีความเสถียรค่อนข้างดีกว่าน้ำยาที่รักษาสภาพด้วยสารเคมีระบบอื่น ๆ ซึ่งจะทำให้ต้นทุนการผลิตสูงขึ้น

4. น้ำยาขันครีม (creamed latex) น้ำยาขันชนิดครีมทำมาจากการใช้สารช่วยการเป็นครีม (creaming agent) ของน้ำยา ปกติจะผลิตในปริมาณเนื้อยางแห้งที่ไม่ต่ำกว่าร้อยละ 60 และใช้ระบบการรักษาสภาพเช่นเดียวกับน้ำยาขันจากการปั้น การผลิตน้ำยาขันชนิดครีมจะผลิตให้มีปริมาณเนื้อยางแห้งสูงกว่าร้อยละ 60 จึงเป็นข้อได้เปรียบที่จะนำไปใช้งานเพื่อผลิตยางด้วยคีด เพาะน้ำยาขันที่มีปริมาณเนื้อยางแห้งสูงจะให้คุณภาพด้านความแข็งแรงของยางที่จับตัวได้ดี

แต่เนื่องด้วยราคาต้นทุนการผลิตของน้ำยางชั้นดีค่อนข้างสูง ดังนั้นจึงไม่ค่อยนิยมใช้ในงานผลิตอื่น ๆ นอกจากงานผลิตยางด้วยชีด

5. **น้ำยางขันชนิดระเหยน้ำ (evaporated latex)** น้ำยางขันจากการระเหยน้ำออกจะผลิตกันในระดับสารของแข็ง (total solid content, TSC) ประมาณร้อยละ 62-72 และรักษาสภาพคุณภาพสารเคมีผสมของโพลีเมอร์เชิงไฮดรอกไซด์กับสูตรร้อยละ 0.7 โดยน้ำหนัก สมบัติเด่นของน้ำยางขันคือ มีปริมาณสารของแข็ง ความเสถียรทางกล และความเสถียรทางเคมีสูง เนื่องจากความวิธีการของกระบวนการการทำน้ำยางขันเป็นการระเหยน้ำออกอย่างเดียว จึงมีส่วนของอนุภาคเล็ก ๆ ของยางคงเหลืออยู่มากกว่ากรณีการปั่นน้ำยางขัน น้ำยางขันชนิดระเหยน้ำจึงนิยมในงานทำgart แต่ข้อเสียของน้ำยางขันประเภทนี้คือ ต้องซึ่งค่าคงทนต่อการเปลี่ยนแปลงของอุณหภูมิและการสั่นสะเทือน

6. **น้ำยางคงรูป (prevulcanised latex)** น้ำยางที่ผ่านกระบวนการการทำให้คงรูปหรือมักเรียกว่า น้ำยางพรีวัลค่าไนซ์ ได้เริ่มเป็นที่รู้จักในวงการอุตสาหกรรมผลิตภัณฑ์น้ำยางของไทยและเริ่มนิยมการผลิตทางการค้าขึ้น น้ำยางคงรูปจะมีความเหมาะสมในการนำไปใช้งานในโรงงานขนาดเล็ก เพราะการใช้งานมีการเติมสารเคมีอื่นอีกเพียงเล็กน้อยและทั้งสามารถใช้ความร้อนต่อไปในการอบแห้งผลิตภัณฑ์ในขั้นสุดท้าย

2.1.3 ส่วนประกอบของน้ำยาง

น้ำยางขันเป็นสารที่ในทางเคมีจัดให้อยู่ในสถานะคอลลอยด์ที่มีส่วนของอนุภาคละเอียดของยางไม่น้อยกว่าร้อยละ 60 โดยน้ำหนักซึ่งจะระเหยออกอยู่ในตัวกลางที่เป็นน้ำ (aqueous medium) อนุภาคยางที่กระจัดกระเจาอยู่ในตัวกลางมีน้ำหนักโน้มถ่วงประมาณ 1,000,000 และเป็นสารพอลิเมอร์ในลักษณะโครงสร้างแบบ cis ไม่น้อยกว่าร้อยละ 98 ความเสถียรของสถานะคอลลอยด์ของอนุภาคยางต่อการเสียสภาพอันเนื่องจากแรงกระแทกหรือแรงดึงดูดต่อตัวกลางที่เป็นน้ำยาง หรือโดยทางเครื่องกล เกิดขึ้นได้ เพราะอนุภาคยางมีเยื่อหรือชั้นโปรดติน และสารลดแรงตึงผิว (surfactants) ห่อหุ้นอยู่ แต่ความเสถียรของน้ำยางขันจะสูญเสียไปเมื่อน้ำยางมีระดับความเป็นกรดค่อนข้างสูงกว่า 7.0 และน้ำยางจะเริ่มจับเป็นเจล (gel) ส่วนตัวกลางของน้ำยางขันมีสภาพเป็นค่าง เพราะมีแอนโนเนียซึ่งใช้เป็นสารในการรักษาสภาพน้ำยางเป็นส่วนประกอบ นอกจากแอนโนเนียแล้วในส่วนตัวกลางของน้ำยางขันยังมีสารพอกกระดุมใน กรดไขมัน น้ำตาล ลิปิด และเกลืออนินทรีย์ต่าง ๆ สารเหล่านี้มีส่วนในการช่วยส่งเสริมปฏิกิริยาการคงรูปของยาง (vulcanization activation) ช่วยป้องกันยางเสื่อมสภาพ และสารเหล่านี้มีผลกระแทกต่อการจับเป็นเจลของน้ำยางขันด้วย

2.2 อะคริโลไนโตรล์ (Acrylonitrile, C₃H₃N)

อะคริโลไนโตรล์ (Acrylonitrile, H₂C = CH - C ≡ N) เป็นอนาเมอร์ที่มีความสำคัญนิดหนึ่งในทางอุตสาหกรรม ซึ่งโดยส่วนใหญ่มักจะใช้ในอุตสาหกรรมการผลิตเส้นใยอะคริลิก เรซินชนิดโคพอลิเมอร์ (copolymer resins) เช่น สไตรีน อะคริโลไนโตรล์โคพอลิเมอร์ (styrene-acrylonitrile copolymer, SAN) อะคริโลไนโตรล์บิวตะไคอีน สไตรีน เทอร์โพลิเมอร์ (acrylonitrile-butadiene-styrene terpolymer, ABS) บางไนโตรล์ และสารเคลือบผิว เป็นต้น สมบัติทางกายภาพและสมบัติทางเคมีของอะคริโลไนโตรล์ การเตรียมอะคริโลไนโตรล์และพอลิอะคริโลไนโตรล์ แสดงดังข้างล่าง

2.2.1 สมบัติทางกายภาพ และเคมี (Baden, 2002)

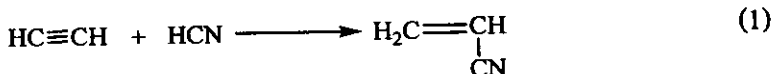
สูตรโมเลกุล	: C ₃ H ₃ N
น้ำหนักโมเลกุล	: 53.06 g/mol
ดัชนีหักเห	: 1.391 (20 °C, 589 nm)
ความดันไอ	: 124 hPa (20 °C)
ความหนาแน่นจำเพาะ	: 0.81 g/cm ³ (20 °C)
จุด戊	: -4.4 °C
การละลายในน้ำ	: 73 g/L (20 °C)
จุดหลอมเหลว	: -83.55 °C
จุดเดือด	: 77.30 °C
ขีดจำกัดของช่วงการระเบิด	: 2.8-28 %vol
pH	: 6.0-7.5 (50 g/L, H ₂ O ₂ , 20 °C)

2.2.2 การเตรียมอะคริโลไนโตรล์ (ชัยวัฒน์, 2526)

อุตสาหกรรมการเตรียมอะคริโลไนโตรล์นี้ มี 3 วิธี โดยแบ่งตามประเภทของสารตั้งต้นที่ใช้ในการผลิต ได้แก่ การใช้อะซีทีลีน เอทีลีน และโพรพิลีน มีรายละเอียดดังนี้

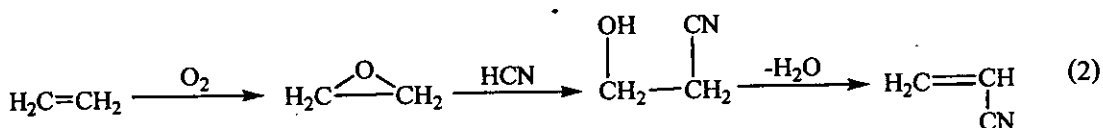
การใช้อะซีทีลีน

วิธีนี้ใช้ปฏิกิริยาการเติมไฮโดรเจนไซยาไนด์ให้กับอะซีทีลีน โดยตัวเร่งปฏิกิริยาที่ใช้คือ กิวปรัสคลอไรด์ (CuCl) ในกรดไฮโดรคลอริก ปฏิกิริยาเกิดในสถานะของเหลว อุณหภูมิของ การเกิดปฏิกิริยา 80-90 °C ความดันสูงกว่าความดันบรรยายกาศเล็กน้อย ในอดีtvicin เป็นวิธีหลักที่อุตสาหกรรมใช้เตรียมอะคริโลไนโตรล์ แต่ปัจจุบันได้หันมาใช้วิธีที่ใช้โพรพิลีนเป็นวัตถุดินมากกว่า ปฏิกิริยาที่เกิดขึ้นแสดงได้ดังสมการที่ 1 ดังนี้



การใช้เอทิลีน

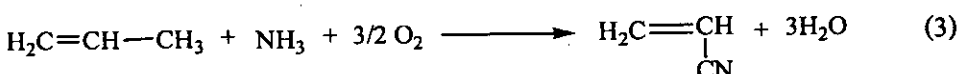
วิธีนี้สังเคราะห์ก่อนขั้นสุดท้ายคือการดึงเอาโมเลกุลของ H_2O ออกมานั่งฟังก์ชันาราดทำให้เกิดได้ในสถานะไอโดยการผ่านไชยาโนไฮดรินไปปั้งแยกตัวเดียวและอุณหภูมิน้ำที่ 300°C หรืออาจเกิดในสถานะของเหลวโดยให้ความร้อนกับไชยาโนไฮดรินที่มีตัวเร่งปฏิกิริยา เช่น แมกนีเซียมคาร์บอนเนต (MgCO_3) หรือโซเดียมฟอร์เมตที่ 200°C วิธีนี้ก่อนข้างมีต้นทุนการผลิตสูง จึงมีความสำคัญลดน้อยลงไปมาก ปฏิกิริยาที่เกิดขึ้นแสดงได้ดังสมการที่ 2 ดังนี้



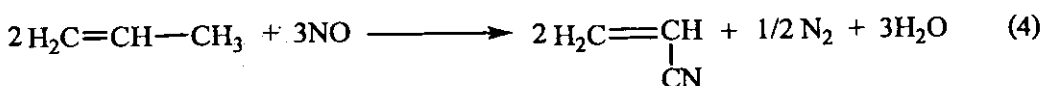
การใช้โพรพีอีน

—

วิธีนี้นำโพรพีอีนมาทำแอนโนมกซิเดชัน (ammonoxidation) โดยใช้ออกซิเจนจากอากาศ ปฏิกิริยานี้ใช้ตัวเร่งปฏิกิริยาแบบของไอล (fluidised catalyst) เช่น สารประกอบของบิสมัลต์ไมโลบีนั่น หรืออะเวนิเมม อุณหภูมิปฏิกิริยาที่ใช้คือ $400\text{-}500^{\circ}\text{C}$ และความดัน 1-3 บรรยากาศ ซึ่งปฏิกิริยาที่เกิดขึ้นแสดงได้ดังสมการที่ 3



การเตรียมอะคริโลในไตรล์จากโพรพีอีนนี้อาจใช้ในคริกอออกไซด์ (NO) โดยมีโลหะเงิน (Ag) เป็นตัวเร่งปฏิกิริยาที่อุณหภูมิ 700°C ดังสมการที่ 4 ซึ่งสามารถดำเนินการเตรียมอะคริโลในไตรล์โดยใช้โพรพีอีนเป็นวัตถุดิบนี้ได้ผลผลิตไม่สูงนัก แต่ก็เป็นวิธีที่นิยมใช้เพิ่มมากขึ้นตามลำดับ เพราะวัตถุดิบรวมทั้ง โพรพีอีนเองมีราคาถูก นอกจากนี้แล้วยังเป็นการหลีกเลี่ยงการใช้ไตรเจนไไซยาไนด์ซึ่งเป็นแก๊สพิษอย่างแรงด้วย



2.2.3 พอดิอะคริโลไนไตรล์ และการเตรียมพอดิอะคริโลไนไตรล์

พอดิอะคริโลไนไตรล์เป็นพอดิเมอร์ที่มีความสำคัญมากในอุตสาหกรรมการผลิตเส้นใยสังเคราะห์ เช่น เส้นใยพอดิอะคริลิก เป็นต้น ประมาณร้อยละ 70 ของอะคริโลไนไตรล์ที่ผลิตได้นำไปผลิตเป็นพอดิเมอร์เพื่อจุดประสงค์นี้ กระบวนการพอดิเมอไรเซชันใช้กลไกแบบฟรีเแรคติก ซึ่งอาจเป็นแบบสารละลาย หรือแบบแbewn ลอยก็ได้แต่นิยมใช้แบบสารละลามากกว่า เพราะหลังจากปฏิกริยาพอดิเมอไรเซชันสิ้นสุดแล้วสามารถปั่นพอดิเมอร์เป็นเส้นจากสารละลายต่อไปได้โดยตรง ระบบสารละลายอาจเป็นสารละลายน้ำเกลือเข้มข้นที่มีเกลืออินทรีย์ละลายอยู่ เช่น โซเดียมไฮโดรไซยาเนต โซเดียมเปอร์คลอเรต และซิงค์คลอไรด์ และในส่วนตัวทำละลายอินทรีย์ที่เหมาะสม ได้แก่ Dimethylacetamide, Dimethylformamide และ Dimethylsulfoxide

2.2.4 สมบัติและการนำไปใช้ประโยชน์ของพอดิอะคริโลไนไตรล์

เส้นใยที่เตรียมได้จากพอดิอะคริโลไนไตรล์ ชนิดโซโนพอดิเมอร์นั้นมีข้อเสีย คือ ข้อมสีได้ยาก ดังนั้นเพื่อแก้ไขปัญหานี้เส้นใยที่เตรียมจากอุตสาหกรรมทั่วไปจะเป็นโภพอดิเมอร์ที่มี เมทิลเมทาไครเลต ไวนิลอะซีเตตหรือ 2-Vinylpyridine ประมาณร้อยละ 10 ในโนเลกูลของพอดิเมอร์ด้วย น้ำหนักโนเลกูลของพอดิอะคริโลไนไตรล์เชิงพาณิชย์นี้คือ 80,000-170,000 เนื่องจากพอดิอะคริโลไนไตรล์นี้สภาพข้าวสูงจึงมีแรงดึงดูดระหว่างโนเลกูลมากทำให้ใช้ของพอดิอะคริโลไนไตรล์ค่อนข้างแข็ง หรือไม่ยืดหยุ่น ผลที่ติดตามมาคือพอดิเมอร์นี้มีอุณหภูมิหลอมตัวผลึกสูงมาก (317°C) และละลายในตัวทำละลายที่มีสภาพข้าวสูงมาก เช่น Dimethylacetamide, Dimethylsulfoxide และในเกลืออินทรีย์ที่มีน้ำเป็นตัวทำละลาย พอดิอะคริโลไนไตรล์ไม่อาจดึงเป็นเส้นไปแบบหลอมໄได้ เนื่องจากจะเกิดการแตกสลายโนเลกูลก่อนเกิดการหลอม ดังนั้นการปั่นเป็นเส้นใช้จึงจำเป็นต้องปั่นจากสารละลาย เมื่อนำพอดิอะคริโลไนไตรล์นี้มาให้ความร้อนสูงกว่า 200°C เส้นก็จะกลายเป็นของแข็งสีแดง และเมื่อให้ความร้อนต่อไปประมาณ 350°C จะกลายเป็นวัตถุสีดำประมาณที่เสื่อมร่องรอยต่อความร้อนมาก ทั้งนี้เป็นเพราะเกิดการควบแน่นเป็นวงแหวน สมบัติที่เด่นของพอดิอะคริโลไนไตรล์ คือ ความแข็งแรง ความเหนียว ความแข็งแกร่ง ความต้านทานต่อการสึกหรอ ความกระเด้งตัว และความทนต่อการหักออกซูง เมื่อเทียบกับในบรรดาพอดิเมอร์ด้วยกัน นอกจგานี้ยังไม่ว่องไวต่อไอน้ำ แมลง รา และมีความทนต่อการเปลี่ยนแปลงสภาพอากาศดีมาก

2.3 โคโพลิเมอไรเซชัน (Copolymerization) (ชัยวัฒน์, 2527)

เนื่องจากโครงสร้างของโคโพลิเมอร์แตกต่างกับโครงสร้างของโซโนโพลิเมอร์ หรือของพสมของโซโนโพลิเมอร์ 2 ชนิด โคโพลิเมอร์จึงมีคุณสมบัติแตกต่างกับโซโนโพลิเมอร์ ดังนั้นการนำอนุมอเมอร์ต่างชนิดกันมาสังเคราะห์เป็นโคโพลิเมอร์จึงเป็นประโยชน์มากในทางปฏิบัติ และในการศึกษาในทางทฤษฎี ซึ่งพอสรุปได้ดังนี้

1. พลิฟลหรือพอลิเมอร์ที่ได้จากโซโนโพลิเมอร์ย่างเดียวมีจำกัด จึงเป็นการจำกัดชนิดของพอลิเมอร์ และสมบัติของพอลิเมอร์ที่พึงได้ ตรงกันข้ามโคโพลิเมอร์เปิดโอกาสให้สามารถมีพอลิเมอร์เพิ่มขึ้น และโอกาสที่จะได้ผลผลิตใหม่ที่มีสมบัติตามต้องการมากขึ้น

2. ไวนิลอนอเมอร์บางชนิด เช่น Maleic anhydride, Stilbene และ Fumaric esters ซึ่งโดยปกติไม่อาจนำมาสังเคราะห์เป็นพอลิเมอร์ที่มีน้ำหนักโมเลกุลสูงได้ แต่บนอ่อนอเมอร์เหล่านี้สามารถเกิดโคโพลิเมอร์กับบันนอนอเมอร์อื่น ๆ บางชนิดได้ เช่น สไตริน ไวนิโลอะซีเตต เป็นต้น

3. ความรู้จากโคโพลิเมอไรเซชันทำให้เข้าใจสมบัติค่าง ๆ ของบันนอนอเมอร์ และบันนอนอเมอร์แปรคิกัลตีขึ้น เช่น ความว่องไวของบันนอนอเมอร์ บันนอนอเมอร์แปรคิกัล แคตอิโอนและแอนอิโอน ความสัมพันธ์ระหว่างโครงสร้างของบันนอนอเมอร์และความว่องไวที่เป็นผลมาจากการศึกษาพอลิเมอไรเซชัน เช่นกัน

4. ในทางปฏิบัตiteknik โคโพลิเมอไรเซชันนี้ ทำให้สามารถเลือกคุณภาพของบันนอนอเมอร์ อัตราส่วนของคุณภาพของบันนอนอเมอร์ที่ใช้ และสภาพที่เหมาะสมเพื่อให้ได้โคโพลิเมอร์ที่มีสมบัติตามต้องการได้

ข้อได้เปรียบของโคโพลิเมอไรเซชันเปรียบเทียบกับโซโนโพลิเมอไรเซชัน ได้แก่ กรณีของสไตริน พอลิสไตรินเป็นพลาสติกที่มีสมบัติประจำ จุดหลอมเหลวต่ำ แรงด้านทานการกระแทบต่ำมาก (แตกง่าย) ด้านทานต่อตัวทำละลายได้น้อยมาก (ละลายได้ต่ำกว่าละลายอินทรีย์เป็นจำนวนมาก เช่น โทลูอิน เบนซีน คลอโรฟอร์ม) ขอบเขตการใช้ประโยชน์ หรือการใช้งานของพอลิสไตรินจึงแคบมาก แต่ถ้านำสไตรินมาทำโคโพลิเมอไรซ์กับบันนอนอเมอร์อื่น ๆ จะได้โคโพลิเมอร์ซึ่งไม่เพียงแต่จะได้พลาสติกที่มีสมบัติขึ้นยังได้อีเลสโตเมอร์ (elastomer) ที่มีสมบัติติดตัว เช่น สไตรินโคโพลิเมอร์ไรซ์กับอะคริโลไนโตรล ได้โคโพลิเมอร์ที่สามารถทนต่อแรงกระแทบต่ำมาก และด้านทานต่อตัวทำละลายอินทรีย์ได้เป็นอย่างดี จึงเหมาะสมสำหรับทำเป็นภาชนะบรรจุตัวทำละลายอินทรีย์ หรือท่อลำเดียงน้ำมัน จากตัวอย่างข้างต้น จะเห็นได้ว่ากระบวนการโคโพลิเมอไรเซชันมีประโยชน์มาก เพราะทำให้ได้ผลผลิตใหม่ที่มีสมบัติขึ้น หรือมีสมบัติตามที่ต้องการได้โดยการเลือกคุณภาพของบันนอนอเมอร์ที่เหมาะสม โดยพสมในอัตราส่วนและสภาพของปฏิกริยาที่เหมาะสม

2.4 ปฏิกิริยาโพลิเมอไรซ์ชันแบบอินจัลชัน (Emulsion polymerization) (ข้อวัฒน์, 2527)

เทคนิคการทำปฏิกิริยาโพลิเมอไรซ์ชันแบบนี้มีน้ำเป็นตัวกลาง เช่นเดียวกับการทำปฏิกิริยาโพลิเมอไรซ์ชันแบบแบนวนโดย แต่มีข้อแตกต่างที่สำคัญ 2 ข้อ คือ ตัวริเริ่มละลายอยู่ในน้ำ แทนที่จะละลายอยู่ในนอนอเมอร์ และขนาดของหยดนอนอเมอร์เล็กกว่ามาก เป็นผลให้โพลิเมอร์ที่สังเคราะห์ได้มีขนาดเล็กกว่ามาก เมื่อเปรียบเทียบกับในกรณีของการโพลิเมอไรซ์ชันแบบแบนวนโดย และเทคนิคนี้แตกต่างจากวิธีโพลิเมอไรซ์ชันแบบอื่นคือ มีการใช้สบู่ในกระบวนการด้วย โดยท่องค์ประกอบและหน้าที่หลักของการบวนการ ได้แก่

1. คุณอนอเมอร์ที่ไม่ละลายในน้ำ หรือละลายน้ำได้น้อยมาก
2. ตัวกลาง (dispersing media) โดยตัวกลางที่ใช้นั้นได้แก่ น้ำ
3. ตัวอิมัลซิไฟเออร์ (emulsifier) โดยตัวอิมัลซิไฟเออร์ที่ใช้ได้แก่ สบู่หรือผงซักฟอก ซึ่งจะทำหน้าที่ในการลดแรงตึงผิวของน้ำ เพื่อทำให้เกิดสภาพอินจัลชัน
4. ตัวริเริ่มที่สามารถละลายในน้ำได้ เช่น โพแทสเซียมเบอร์ชัลเฟต เป็นต้น
5. ตัวข่ายสายโซ่ สารที่ใช้เป็นตัวข่ายสายโซ่นั้นจะเป็นสารจำพวกเมอร์แคปตัน (mercaptan, RSH) ทำหน้าที่ควบคุมขนาดหนักโมเลกุลของโพลิเมอร์ที่ได้

การโพลิเมอไรซ์ชันแบบอินจัลชันนี้ มีขั้นตอนการเกิดปฏิกิริยา ดังนี้คือ เริ่มแรก เป็นการตีสบู่ หรือผงซักฟอกในน้ำซึ่งบรรจุอยู่ในถังปฏิกิริญ (reactor) สบู่จะละลายได้เพียงเล็กน้อย เท่านั้น ส่วนที่เหลือจะเกาะกันเป็นกลุ่มเรียกว่า ไนเชลล์ (micelle) โดยปกติในแต่ละ ไนเชลล์ จะประกอบด้วยโมเลกุลของสบู่ 50-100 โมเลกุล โมเลกุลของสบู่ประกอบด้วยส่วนสำคัญ 2 ส่วน ได้แก่ ส่วนที่เป็นโซ่อิโตรคาร์บอนที่ไม่มีสภาพข้าว และหมู่คาร์บอโนฟิลิกที่มีสภาพข้าวที่ปลายถังนั้น โมเลกุลของสบู่ซึ่งเป็นองค์ประกอบของไนเชลล์ มีส่วนที่เป็นโซ่อิโตรคาร์บอนมีพิษซึ่งเข้าด้านใน ส่วนหมู่คาร์บอโนฟิลิกที่ซึ่งช่วยน้ำซึ่งออกข้างนอก เมื่อเติมนอนอเมอร์หรือคุณอนอเมอร์ ที่มีความสามารถในการละลายน้ำต่ำ ประมาณร้อยละ 0.01-1 (ความสามารถของการละลายน้ำของอนอเมอร์สามัญรวมไว้ดังตารางที่ 2) เข้าไปในระบบขณะที่มีการกวนคลอดเวลา นอนอเมอร์ บางส่วนจะละลายในไนเชลล์ ทำให้ขนาดของไนเชลล์เพิ่มโตขึ้น นอนอเมอร์อื่น ๆ ที่เหลือจะยังกันเป็นหยดเล็ก ๆ ที่มีรัศมี 2-3 μm กระจายไปทั่วระบบ หยดนอนอเมอร์เหล่านี้อ่อนยุ่ง่ายค่อนข้างเสถียร ไม่รวมตัวเป็นหยดใหญ่ขึ้น โดยสบู่ที่ละลายจะทำหน้าที่เป็นตัวอิมัลซิไฟเออร์ ระบบจึงประกอบด้วย 3 ชั้น ดังแสดงในภาพประกอบที่ 1 และสามารถอธิบายได้ดังนี้

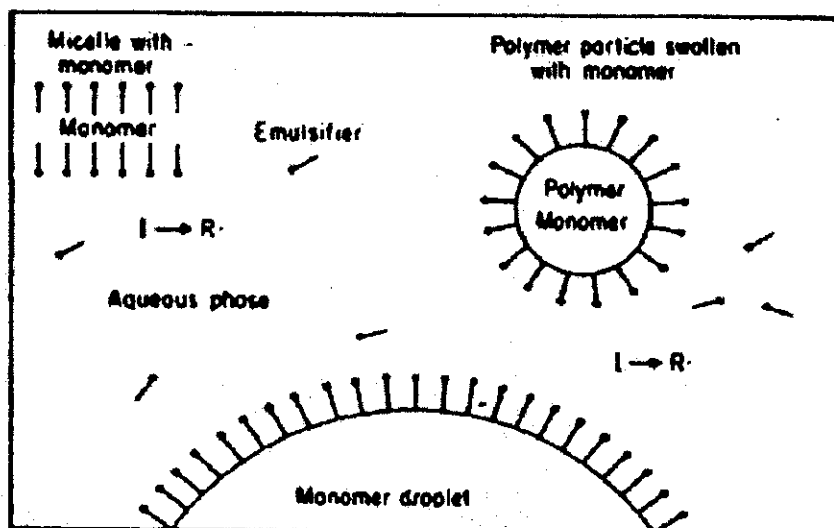
1. ชั้นของน้ำที่มีสบู่ และนอนอเมอร์ละลายอยู่เล็กน้อย
2. หยดนอนอเมอร์ที่อ่อนยุ่ง่ายค่อนข้างเสถียร
3. ไนเชลล์ที่อิมตัวคุณอนอเมอร์ ซึ่งมีขนาดเล็กกว่าหยดนอนอเมอร์มาก

เมื่อตัวเริ่มปฏิกิริยาที่สามารถละลายในน้ำได้ เช่น $K_2S_2O_8$ จะถูกดึงสู่ระบบฟรีเอดจิกัลที่เกิดจากการแตกตัวของตัวเริ่มปฏิกิริยานี้ สามารถเริ่มปฏิกิริยาพอลิเมอไรเซชันได้ทั้ง 3 แหล่งของระบบ คือ

1. นอนอเมอร์ที่ละลายในน้ำ
2. หยดนอนอเมอร์ โดยการเพร่เข้าไปปั๊บหยดนอนอเมอร์เหล่านี้
3. ไนเซลล์ โดยการเพร่เข้าไปสู่ไนเซลล์

ตารางที่ 2 ความสามารถในการละลายน้ำของนอนอเมอร์สามัญ

นอนอเมอร์	ความสามารถในการละลาย	อุณหภูมิ ($^{\circ}\text{C}$)
Styrene	0.0382%	50
Butadiene	0.082%	25 (1 atm)
Methyl methacrylate	0.15M	30
Acrylonitrile	7.4%	—
Vinyl acetate	2.4%	20
Vinyl chloride	0.11%	25



ภาพประกอบที่ 1 กระบวนการพอลิเมอไรเซชันแบบอิมัลชัน (ชัยวัฒน์, 2527)

กระบวนการพอดิเมอไรเซชันแบบอิมัลชันในปฏิกรณ์แบบกึ่งแบบที่ เป็นกระบวนการที่สำคัญในการผลิตผลิตภัณฑ์ที่ใช้น้ำยาเป็นสารตั้งต้น ได้หากหาหลายรูปแบบ เช่น สารเคลื่อนผิว กาว และพอดิเมอร์สังเคราะห์ เป็นต้น เนื่องจากในกระบวนการสามารถควบคุม องค์ประกอบของพอดิเมอร์ และสัมฐานวิทยาของอนุภาคพอดิเมอร์ที่ต้องการ ได้ อีกทั้งยังสามารถ ระบายน้ำความร้อนที่เกิดขึ้นในระหว่างการเกิดปฏิกิริยาได้ง่าย และข้อแตกต่างที่สำคัญระหว่าง กระบวนการพอดิเมอไรเซชันแบบอิมัลชันในปฏิกรณ์แบบที่ กับแบบที่ก่อส่วนผสม ในปฏิกิริยา เช่น นอนอนเมอร์ สารลดแรงตึงผิว ตัวริเริมนปฏิกิริยา หรือน้ำ สามารถเติมลงไปใน ปฏิกรณ์ได้อย่างต่อเนื่องทำให้ออนุภาคที่พร้อมเข้าทำปฏิกิริยาสามารถอยู่ในปฏิกรณ์ได้นาน ซึ่งจะ ส่งผลให้ปฏิกิริยาพอดิเมอไรเซชันสามารถเกิดขึ้น ได้อย่างต่อเนื่อง โดยที่กระบวนการ พอดิเมอไรเซชันแบบอิมัลชันในปฏิกรณ์แบบกึ่งแบบที่ แสดงได้ดังภาพประกอบที่ 2 พอดิเมอร์ที่ได้ จากการกระบวนการอิมัลชันสามารถนำไปใช้ได้โดยตรง โดยไม่ต้องผ่านการแยกอีก และโดยทั่วไปการ สังเคราะห์พอดิเมอร์ด้วยวิธีอื่นพบว่า อัตราการของพอดิเมอไรเซชันแปรผันโดยตรงกับอัตราการ เริ่มปฏิกิริยา (initiation) แต่น้ำหนักโมเลกุล จะแปรผันอย่างผกผันกับอัตราการเริ่มปฏิกิริยา และ ในกรณีของการพอดิเมอไรเซชันแบบอิมัลชันทั้งอัตราของพอดิเมอไรเซชัน และน้ำหนักโมเลกุลจะ แปรผันโดยตรงกับอัตราการเริ่มปฏิกิริยา กระบวนการพอดิเมอไรเซชันแบบอิมัลชันเป็น กระบวนการเดียวที่เพิ่มน้ำหนักโมเลกุลของพอดิเมอร์ได้โดยอัตราเร็วในการพอดิเมอไรเซชัน ไม่ลดลง และมีข้อดีคือสามารถที่จะ ได้น้ำหนักโมเลกุลสูง และมีอัตราเร็วของปฏิกิริยาสูง โดยในงานวิจัยนี้ใช้ปฏิกิริยาพอดิเมอไรเซชันแบบอิมัลชันในการเตรียมกราฟต์โคพอดิเมอร์ของ ยางธรรมชาติกับพอลิอะคริโลไนโตรล์ในปฏิกิริยาแบบกึ่งแบบที่ขานดันแบบ

Semibatch emulsion polymerization

Initial reactor charge

water, surfactant, monomer, initiator

(Nucleation period)

Primary particles

Monomer addition

Monomer, surfactant,
initiator, water

(Particle growth)

(Secondary nucleation)

(Flocculation)

Stable
latex particles

Filterable solids
Reactor scrap

ภาพประกอบที่ 2 กระบวนการปฏิกริยาพอลิเมอไรเซชันแบบอิมัลชันในปฏิกรณ์
แบบกึ่งแบบทัช (Chen, 2006)

2.5 Response Surface Methodology (RSM)

RSM คือการรวบรวมข้อมูลทางสถิติและเทคนิคทางคณิตศาสตร์ เพื่อเป็นประโยชน์ในการพัฒนา การเพิ่มประสิทธิภาพ และการหาจุดที่เหมาะสมของกระบวนการ RSM ประกอบด้วยกลุ่มของตัวแปรตามหลักการทำงานคณิตศาสตร์และสถิติ โดยจะใช้หลักการเหล่านี้ในการแสดงความสัมพันธ์ระหว่างผลตอบสนองและตัวแปรอิสระ โดย RSM ประกอบขึ้นมาจากการทดลองของตัวแปรอิสระซึ่งอาจมีเพียงตัวเดียว หรือหลายตัว สำหรับการวิเคราะห์ถึงผลของตัวแปรอิสระที่ได้จากการทดลองนั้นจะถูกนำมาสร้างเป็นสมการทางคณิตศาสตร์ซึ่งจะอยู่ในรูปแบบของผลตอบสนองในรูปแบบของพื้นผืนตอบสนอง (response surface methodology) โดยความสัมพันธ์ระหว่างผลตอบสนองที่ได้กับข้อมูลคือแสดงดังสมการที่ 5

$$y = f(x_1, x_2, \dots, x_n) + \varepsilon \quad (5)$$

ชี้	y	คือผลตอบสนองที่เกิดขึ้น
	f	คือฟังก์ชันการทำงานที่ตัวแปรที่บังไม่ทราบต่อผลตอบสนอง
	$x_1, x_2, x_3, \dots, x_n$	คือตัวแปรอิสระ ซึ่งจะถูกเรียกว่า ตัวแปรธรรมชาติคุ้ย
	n	คือจำนวนของตัวแปรอิสระ
	ε	คือค่าความคลาดเคลื่อนที่เกิดขึ้นซึ่งเกิดมาจากเหล่งต่าง ๆ ซึ่งไม่สามารถถูกรวบรวมเอาไว้ใน f ได้ ซึ่งเหล่งที่ว่านี้ก่อให้เกิดผลกระทบ เช่น ค่าการวัดผิดพลาด โดยที่จะถูกภาคคณิตศาสตร์คิดว่า ε ซึ่งมีการกระจายตัวด้วยค่าเฉลี่ยศูนย์และค่าความแปรปรวน

การออกแบบการทดลองโดยใช้เทคนิค RSM มีขั้นตอน ดังนี้

1. การกำหนดตัวแปรที่จะศึกษา ซึ่งประกอบไปด้วยตัวแปรอิสระ และตัวแปรตาม กระบวนการทางเคมีและทางชีวเคมี ที่สามารถได้รับผลกระทบจากตัวแปรต่าง ๆ มากน้อยเพียงใด ไปไม่ได้ที่จะระบุผลกระทบต่าง ๆ ที่เกิดขึ้นได้จากทุกตัวแปรที่เกี่ยวข้องซึ่งมีความจำเป็นในการเลือกตัวแปรบางตัวที่สร้างผลกระทบได้โดยตรงออกแบบ การคัดเลือกโดยการทดลองนั้นมีความสำคัญในการระบุตัวแปรอิสระ โดยหลังจากทำการระบุตัวแปรสำคัญต่าง ๆ แล้วจะสามารถกำหนดพิษทางในการพัฒนารูปแบบขึ้นซึ่งจะสามารถระบุระดับความสำคัญของตัวแปรต่าง ๆ ขึ้นมาได้ การระบุระดับความสำคัญของตัวแปรต่าง ๆ นั้นมีความสำคัญ เพราะความสำเร็จของกระบวนการทาง化จุกที่เหมาะสมนั้นเกี่ยวข้องกับสิ่งนี้โดยตรง ซึ่งความผิดพลาดในการระบุระดับความสำคัญนั้นส่งผลถึงความผิดพลาดในการระบุจุกที่เหมาะสมได้

2. กำหนดรหัส (code) ของตัวแปรอิสระที่เหมาะสมเพื่อใช้ในการออกแบบสภาวะที่ใช้ในการทดลองโดยวิธีการ Central Composite Design (CCD) และทำการแปลงค่ารหัสตัวแปรอิสระ (coded variables) ที่ได้ออกแบบไว้เป็นตัวแปรเดิมทำได้โดยใช้สมการที่ 6

$$X = \left(\begin{array}{c} \frac{x - \frac{x_{\max} + x_{\min}}{2}}{\frac{x_{\max} - x_{\min}}{2}} \\ \end{array} \right) \quad (6)$$

โดยที่ X = coded variables

x = ตัวแปรอิสระ

x_{\max} = ค่าสูงสุดของตัวแปรอิสระ

x_{\min} = ค่าต่ำสุดของตัวแปรอิสระ

3. ทำการทดลองตามสภาวะการทดลองที่ได้ออกแบบไว้

4. แสดงผลของตัวแปรอิสระต่าง ๆ ที่ได้จากการทดลองในรูปแบบของ surface

plot โดยใช้โปรแกรม Regression Analysis ซึ่งแบบจำลองที่ได้จะอยู่ในรูปแบบสมการกำลังสอง (quadratic equation) ดังแสดงได้ดังสมการที่ 7

$$y = \beta_0 + \sum_{j=1}^k \beta_j X_j + \sum_{j=1}^k \beta_{jj} X_j^2 + \sum_{i < j} \bar{\beta}_{ij} \bar{X}_i X_j \quad (7)$$

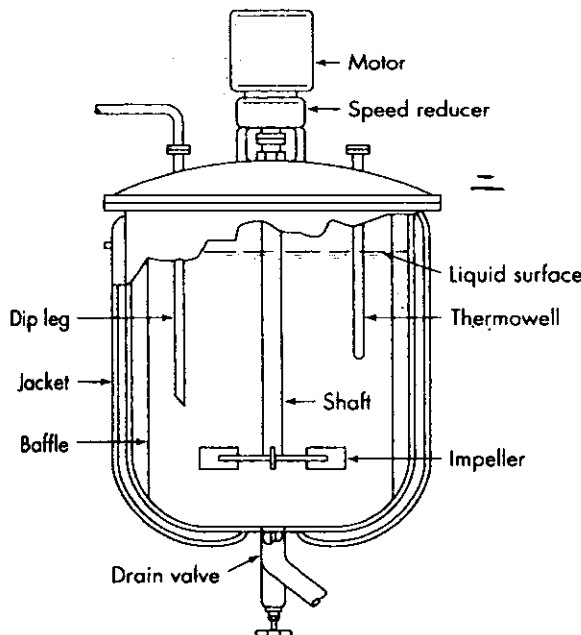
โดยที่ $\beta_0, \beta_1, \beta_2, \dots, \beta_k$ คือสัมประสิทธิ์คงอยู่ทั้งแบบเชิงเส้นและแบบกำลังสอง และสัมประสิทธิ์เชิงช้อน ตามลำดับ

RSM มีประโยชน์มากถ้าเปรียบเทียบกันระหว่างการหาค่าที่เหมาะสมในการทดลองโดยวิธีเดิมกับ RSM โดยข้อได้เปรียบที่สำคัญคือ จำนวนชุดการทดลองที่ออกแบบโดยใช้ RSM นั้นมีจำนวนที่น้อยกว่าเมื่อเทียบกับการออกแบบการทดลองแบบดั้งเดิม เพราะ RSM นั้นจะนำเสนอข้อมูลจำนวนมากจากการทดลองเพียงไม่กี่ครั้ง ซึ่งต่างจากการทดลองในแบบดั้งเดิมที่จะใช้จำนวนการทดลองที่มากกว่าเพื่ออธิบายถึงพฤติกรรมของระบบ และ RSM มีความเป็นไปได้ที่จะขยายผลกระทบที่มีลักษณะเป็นผลกระทบภายใน (interactive effect) จากตัวแปรอิสระ โดยเฉพาะกระบวนการทางชีวเคมี นอกจากนี้ไม่เด่นสมการอย่างง่ายของ RSM จะเพิ่มความเข้าใจต่อผลที่เกิดจากการผสมกันของตัวแปรอิสระต่างๆ เมื่อสังเกตสมการนั้นผ่านการทดลองต่าง ๆ ก็จะพบว่า ข้อมูลของตัวแปรอิสระต่างๆ ที่ได้กับผลตอบสนองนั้นมีความสอดคล้องกันจึงกล่าวได้ว่า RSM เป็นเครื่องมือที่เป็นประโยชน์สำหรับการหาจุดที่เหมาะสมของกระบวนการทางเคมีและกระบวนการทางชีวเคมี

2.6 เครื่องปฏิกรณ์เคมี (Chemical Reactor) (Maccabe Smith and Harriott, 2001)

2.6.1 ส่วนประกอบของถังปฏิกรณ์

โดยทั่วไปแล้วองค์ประกอบหลักของถังปฏิกรณ์เคมีนี้มี 2 องค์ประกอบ основนั่นก็คือ ตัวถังปฏิกรณ์ (vessel) และใบพัด (impeller) ในส่วนของตัวถังปฏิกรณ์โดยส่วนใหญ่มักจะเป็นถังสำหรับใช้กับสารเคมีที่เป็นของเหลวหรือเรียกว่า ถังกวนผสม (agitated vessels) โดยถังกวนผสมเหล่านี้มักออกแบบเป็นรูปทรงกระบอก และติดตั้งอยู่ในแนวตั้งโดยส่วนบนของถังอาจเป็นแบบเปิด และส่วนล่างของถังจะถูกออกแบบให้มีลักษณะโค้ง ความลึกของถังจะประมาณให้เท่ากับเส้นผ่านศูนย์กลางของถังกวนผสม สัดส่วนของถังกวนผสมนี้จะมีขนาดที่แตกต่างกันออกไปตามวัตถุประสงค์ในการใช้งาน ซึ่งถังกวนผสมแบบมาตรฐานนี้แสดงได้ดังภาพประกอบที่ 3



ภาพประกอบที่ 3 ถังกวนผสมแบบมาตรฐาน (Maccabe Smith and Harriott, 2001)

การออกแบบถังกวนโดยทั่วไปมีทางเลือกนากมายในการเลือกชนิดของถังกวน ตำแหน่งของใบพัด สัดส่วนของถังกวนผสม สัดส่วนและจำนวนของบัฟเฟิล (baffles) สัดส่วนในการออกแบบถังกวนผสมทั้งในส่วนของตัวถังกวน และอุปกรณ์ช่วยในการกวนนี้แสดงได้ดังภาพประกอบที่ 4 และสัดส่วนในการออกแบบมีดังนี้

$$\frac{D_a}{D_t} = \frac{1}{3}$$

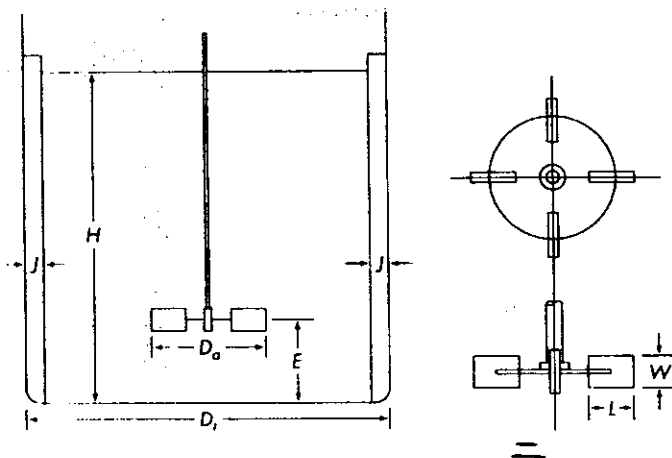
$$\frac{H}{D_t} = 1$$

$$\frac{J}{D_t} = \frac{1}{12}$$

$$\frac{E}{D_t} = \frac{1}{3}$$

$$\frac{W}{D_a} = \frac{1}{5}$$

$$\frac{L}{D_a} = \frac{1}{4}$$

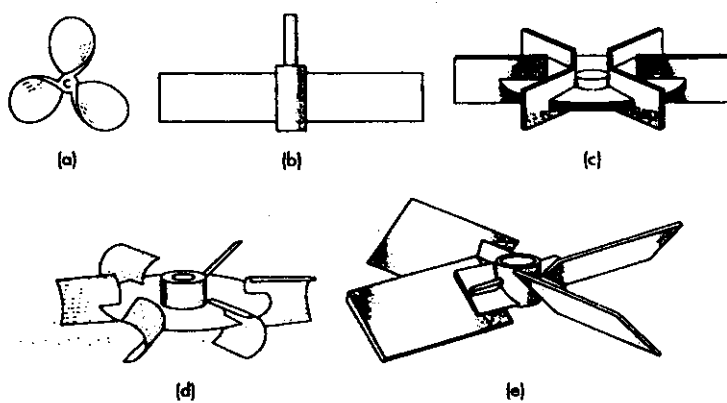


ภาพประกอบที่ 4 สัดส่วนในการคำนวณสำหรับการออกแบบดังปฏิกริณ์

ในส่วนของใบกวนนั้นแบ่งตามลักษณะการเกิดกระแสของไหลของของเหลว เมื่อมีการกวนเกิดขึ้นได้ 2 ประเภทได้แก่ แบบไหลบนันกับแกนของใบกวน (axial-flow impellers) และแบบไหลในแนวรัศมีของใบกวน (radial-flow impellers) โดยที่ใบกวนสำหรับของเหลวที่มีความหนืดต่ำถึงปานกลางแบ่งออกได้เป็น 2 แบบคือ ในพัด (propellers) และกังหัน (turbines) แสดงได้ดังภาพประกอบที่ 5 และใบกวนประสิทธิภาพสูง แสดงได้ดังภาพประกอบที่ 6 และสำหรับใบกวนสำหรับของเหลวที่มีความหนืดสูงนั้น ได้แก่ Helical impeller และ Anchor agitator และได้ดังภาพประกอบที่ 7

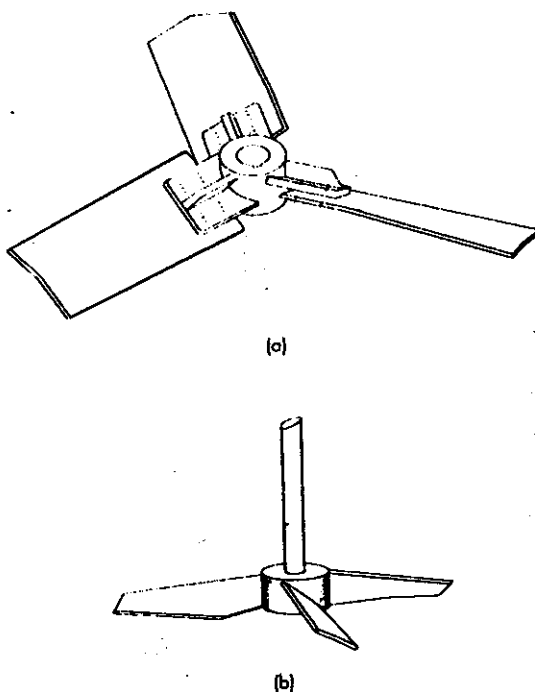
ผู้ยานหอสมุด
คุณหญิงหลง อรรถกิจวีสุนทร

20



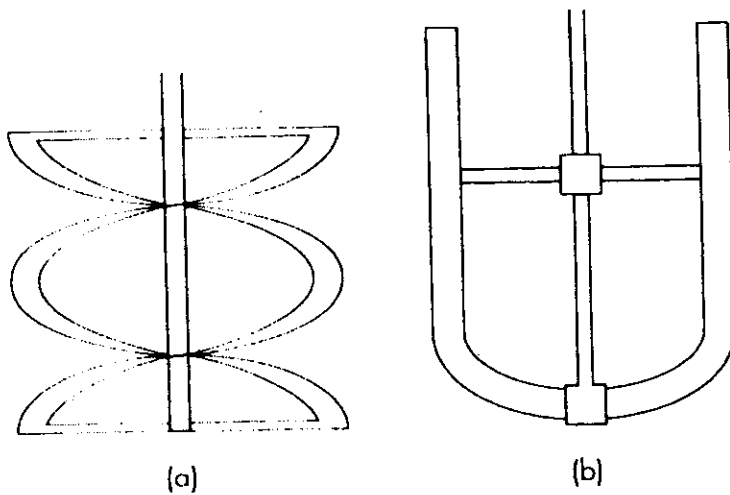
ภาพประกอบที่ 5 รูปแบบของในกรุณสำหรับของเหลวความหนืดปานกลาง

- (a) three-blade marine propeller (b) simple straight-blade turbine
(c) disk turbine (d) concave-blade CD-6 impeller (e) pitched-blade turbine



ภาพประกอบที่ 6 รูปแบบของในกรุณประสิทธิภาพสูง (a) HE-3 impeller

- (b) A310 fluid-foil impeller



ภาพประกอบที่ 7 รูปแบบของในการสำหรับของเหลวที่มีความหนืดสูง

(a) double-flight helical-ribbon impeller (b) anchor impeller

2.6.2 ประเภทของเครื่องปฏิกรณ์ (Type of Reactors)

โครงสร้าง และการทำงานของเครื่องปฏิกรณ์ในอุตสาหกรรมเคมีมีมากหลายชนิดในที่นี้จะแยกประเภทเครื่องปฏิกรณ์ของปฏิกริยาออกพันธ์ตามรูปแบบ และตามลักษณะการทำงาน ถ้าแยกเครื่องปฏิกรณ์แบบออกพันธ์ตามรูปแบบสามารถแบ่งออกเป็น 2 ประเภทคือ แบบถังกว้าง (stirred tank reactor) และแบบท่อไอล (plug flow reactor) และถ้าแยกตามลักษณะการทำงาน แบ่งเป็นแบบแบบทช์ (batch) แบบไอลต่อเนื่อง (continuous) และแบบกึ่งแบบทช์ (semi-batch)

2.6.3 การทำงานของเครื่องปฏิกรณ์ (วิโภน, 2544)

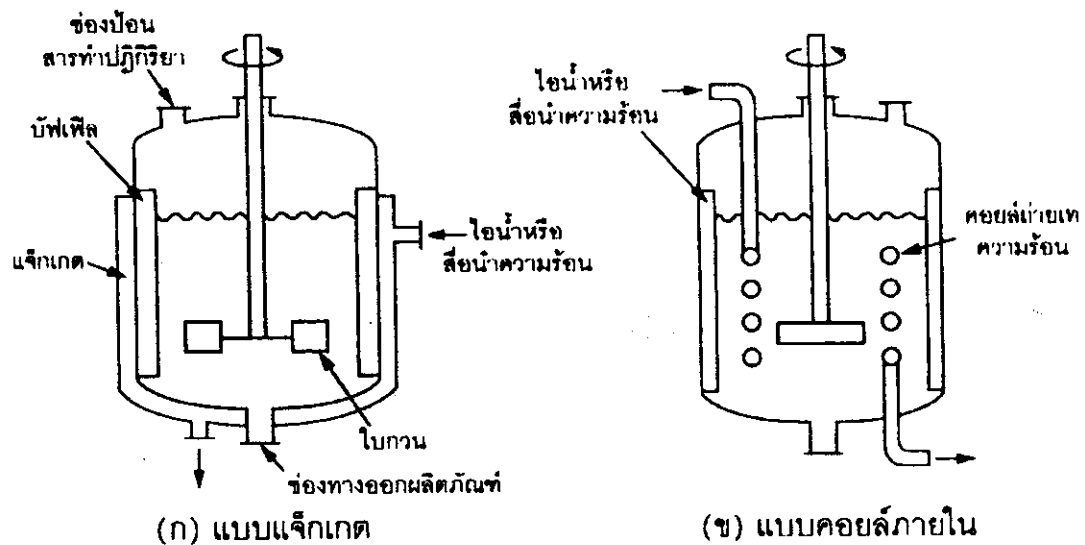
ในการทำงานแบบแบบทช์สารทำปฏิกริยาทั้งหมดจะถูกป้อนเข้าไปในเครื่องปฏิกรณ์ทึ้งไว้ก่อนแล้วจึงเริ่มปฏิกริยา เมื่อเสร็จสิ้นปฏิกริยาตามเวลาที่กำหนดจึงนำของผสม (สารทำปฏิกริยาที่ยังเหลืออยู่ และผลิตภัณฑ์) ออกจากเครื่องปฏิกรณ์ การทำงานแบบแบบทช์จะนิยมใช้กับเครื่องปฏิกรณ์แบบถังกว้าง สำหรับการทำงานแบบไอลต่อเนื่อง (continuous) สารทำปฏิกริยา ป้อนเข้าที่ทางเข้าเครื่องปฏิกรณ์อย่างต่อเนื่อง ผลิตภัณฑ์ที่ได้ไอลออกมาที่ทางออก ลักษณะของเครื่องปฏิกรณ์แบบนี้มีทั้งรูปแบบถังกว้าง และแบบท่อไอล ส่วนการทำงานแบบกึ่งแบบทช์นั้นมีลักษณะการทำงานก้าวๆ ระหว่างแบบแบบทช์กับแบบไอลต่อเนื่อง ก้าวๆ สารทำปฏิกริยาตัวแรก จะถูกป้อนไปอยู่ในเครื่องปฏิกรณ์ก่อน แล้วจึงป้อนสารทำปฏิกริยาตัวที่สอง เข้าไปในเครื่องปฏิกรณ์อย่างต่อเนื่อง หรือป้อนเป็นระยะ ๆ จะได้ว่าสารที่ทำปฏิกริยาตัวแรกเป็นแบบแบบทช์ แต่

สารทำปฏิกิริยาตัวที่สองเป็นแบบໄหลต่อเนื่องจึงเรียกการทำงานนี้ว่า กึ่งแบบท์ โดยทั่วไปโรงงานอุตสาหกรรมที่ต้องการผลิตผลิตภัณฑ์เป็นจำนวนมาก ๆ นักใช้เครื่องปฏิกิริยแบบໄหลต่อเนื่อง เนื่องจากปฏิกิริยาที่เกิดขึ้นอยู่ในสถานะคงดัว (steady state) ทำให้การควบคุมงานทำได้ง่าย ผลิตภัณฑ์ที่ได้มีความสม่ำเสมอ นอกจากนั้นยังช่วยลดขั้นตอนการถ่ายเทสารทำปฏิกิริยาเข้า-ออก จากเครื่องปฏิกิริยังประจำหัดค่าใช้จ่ายด้านแรงงาน ในทางตรงกันข้ามมีอุตสาหกรรมบางประเภท เช่น อุตสาหกรรมผลิตยา ปรินาณการผลิตมีไม่นำกในขณะที่ชนิดของยาไม่มาก เครื่องปฏิกิริยที่เหมาะสมจึงเป็นแบบแบบท์ หรือแบบกึ่งแบบท์ และถ้ามีเชื้อจุลทรรศ์เกี่ยวข้องกับการผลิต เช่น การหมัก ไม่ค่อยพบรเห็นในเครื่องปฏิกิริยแบบต่อเนื่อง

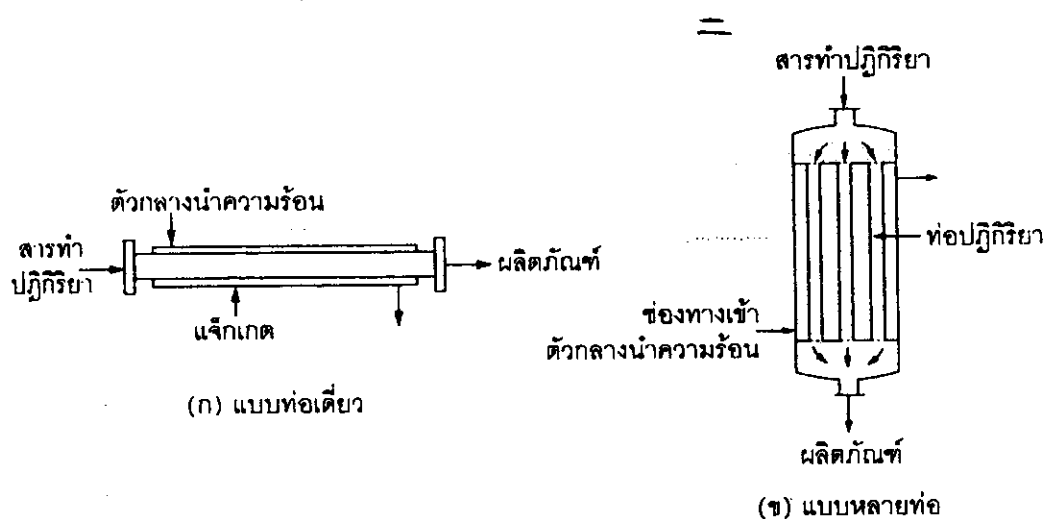
2.6.4 รูปแบบของเครื่องปฏิกิริย

1. เครื่องปฏิกิริยแบบถังกวน (stirred tank reactor) แสดงดังภาพประกอบที่ 8 ซึ่งแสดงถึงโครงสร้าง และระบบการถ่ายเทความร้อน โดยในเครื่องปฏิกิริยแบบถังกวนมีในกวนช่วย กวนสารทำปฏิกิริยาเป็นเนื้อเดียวกันและทำให้มีอุณหภูมิ และความเข้มข้นของสารทำปฏิกิริยา เพ่ากันตลอดทั้งถัง นอกจากนี้แล้วในกวนยังช่วยเพิ่มการถ่ายเทน้ำ และการถ่ายเทความร้อน กรณีที่สารทำปฏิกิริยามีความหนืดสูง เช่น ปฏิกิริยาพอลิเมอร์ไรเซชัน (polymerization) ต้องระวังเรื่องลักษณะของในกวนเพราถ้าใช้ในกวนที่ไม่เหมาะสมการกวนจะไม่ได้ผลเต็มที่ เครื่องปฏิกิริยแบบถังกวนในลักษณะการทำงานแบบกะเรียกว่า เครื่องปฏิกิริยแบบแบบท์ (batch reactor) แต่ถ้าเป็นการทำงานแบบต่อเนื่องเรียกว่า เครื่องปฏิกิริยแบบถังกวนต่อเนื่อง (continuous stirred tank reactor, CSTR) การถ่ายเทความร้อนในปฏิกิริยทั้ง 2 ประเภทนี้สามารถทำได้โดยการติดตั้งแจ็คเกต บริเวณรอบถังหรือใช้ท่อชุด (coil) ติดตั้งภายในถัง แล้วทำการส่งไอน้ำ หรือน้ำหล่อเย็นเป็นตัวกลางถ่ายเทความร้อนเข้าไปในแจ็คเกต หรือท่อชุด เครื่องปฏิกิริยแบบถังกวนนอกจากใช้ในปฏิกิริยาแบบเอกพันธ์หรือปฏิกิริยาที่ของผสมของปฏิกิริยาอยู่ในวัฏจักร เดียวกัน เช่น วัฏจักรของเหลว เป็นต้น แล้วยังสามารถใช้ในปฏิกิริยาวิธีพันธ์หรือปฏิกิริยาที่ของผสมในปฏิกิริยามีวัฏจักรต่างกันซึ่งอาจเป็นวัฏจักรแก๊ส-ของเหลว วัฏจักรแก๊ส-ของเหลว-ของแข็ง ที่ของแข็งเป็นตัวเร่งปฏิกิริยา และวัฏจักรของเหลว-ของเหลว เป็นต้น

2. เครื่องปฏิกิริยแบบท่อໄหล (plug flow reactor) แสดงดังภาพประกอบที่ 9 ซึ่งมีโครงสร้างคล้ายกับเครื่องแลกเปลี่ยนความร้อน ในเครื่องปฏิกิริยแบบท่อໄหลความเข้มข้นของสารทำปฏิกิริยาเปลี่ยนแปลงอย่างต่อเนื่อง ทำให้ยากแก่การควบคุมอุณหภูมิภายในท่อให้เพ่ากันตลอดแนวยาว จึงมักเกิดการกระชาญอุณหภูมิตามแนวยาว การควบคุมอุณหภูมิของเครื่องปฏิกิริยแบบท่อໄหล ใช้ตัวกลางความร้อนส่งผ่านเข้าไปในแจ็คเกตที่อยู่รอบท่อ



ภาพประกอบที่ 8 โครงสร้างและระบบการถ่ายเทความร้อนของเครื่องปฏิกรณ์แบบถังกวาน



ภาพประกอบที่ 9 ปฏิกรณ์แบบท่อไอล (g) ปฏิกรณ์แบบท่อไอลเดี่ยว (x) ปฏิกรณ์แบบท่อไอล
ขนาดหลักท่อ

2.7 สมบัติเชิงกลของพอลิเมอร์ และการทดสอบ

สมบัติเชิงกลเป็นสมบัติที่สำคัญของพอลิเมอร์ เพราะเป็นสมบัติที่แสดงพฤติกรรมของวัสดุในการตอบสนองต่อแรงภายนอกที่มากระทำ ไม่ว่าจะเป็นแรงดึง แรงกด หรือแรงกระแทก เมื่อวัสดุได้รับแรงกระทำวัสดุจะพยายามปรับตัวเพื่อผ่อนคลายสภาพความกดคัน โดยการเปลี่ยนแปลงรูปร่างจนถึงขีดหนึ่งที่ไม่สามารถรับแรงได้อีกต่อไปวัสดุนั้นจะขาดหรือแตกออก

2.7.1 การทดสอบแรงดึง (tensile test)

การทดสอบแรงดึงเป็นการทดสอบพื้นฐานทางกลของวัสดุ เป็นการวัดความสามารถของวัสดุที่ทนต่อแรงดึง ระยะที่วัสดุยืดออกก่อนขาดรวมทั้งนิਊตัน (Newton) ซึ่งเป็นสิ่งสำคัญที่ชี้ให้เห็นถึงความแข็งแรงของวัสดุ การทดสอบแรงดึงมีเรื่องความเค้น (stress) และความเครียด (strain) เข้ามาเกี่ยวข้อง โดยการศึกษาความเค้นและความเครียดของวัสดุสามารถทำได้โดยการให้แรงแก้วัสดุ โดยส่วนใหญ่ชื่นตัวอย่างจะมีขนาดและรูปร่างมาตรฐาน จากนั้นทำการวัดการตอบสนองของวัสดุดังกล่าวในรูปของการเปลี่ยนแปลงรูปร่างไปเมื่อมีแรงกระทำ

ความเค้น (σ) คือแรงที่มากระทำต่อหน้างานที่มีพื้นที่ซึ่งคำนวณได้จากค่าของแรง (F) หารด้วยพื้นที่ของวัสดุที่ตั้งฉากกับทิศทางของแรงนั้น (A) ค่ามั่นคงความเค้นจึงมีหน่วยเป็น N/m^2 หรือพาสคัล (Pa) ในหน่วย SI ซึ่งสามารถคำนวณได้ตามสมการที่ 8

ความเครียด (ϵ) คือการเปลี่ยนแปลงขนาด และรูปร่างของวัสดุเมื่อมีแรงกระทำจากภายนอก และร้อยละความเครียดสามารถคำนวณได้ตามสมการที่ 9 และ 10 ตามลำดับ

$$\text{ความเค้น } (\sigma) = \frac{\text{แรง } (F)}{\text{พื้นที่หน้าตัดเริ่มต้น } (A)} \quad (8)$$

$$\text{ความเครียด } (\epsilon) = \frac{\text{ความยาวที่เปลี่ยนแปลงไป } (\Delta L)}{\text{ความยาวเริ่มต้น } (L_0)} \quad (9)$$

$$\text{ร้อยละความเครียด ณ จุดขาด } (\%) = (\Delta L / L_0) \times 100 \quad (10)$$

เมื่อ	F	= แรงดึงที่ทำให้ชิ้นทดสอบขาด (N)
	A	= พื้นที่หน้าตัดของชิ้นทดสอบขณะขัง ไม่มีซีด (mm^2)
	ΔL	= ความยาวสุดท้าย (L) – ความยาวเริ่มต้น (L_0)
	L	= ระยะที่ชิ้นทดสอบสามารถยืดตัวได้จนขาด (mm)
	L_0	= ระยะกำลังดึงก่อนทำการทดสอบ (mm)

2.7.2 การทดสอบความต้านทานต่อแรงกระแทกแบบดึง (tensile impact property)

การทดสอบความต้านทานต่อแรงกระแทกแบบดึงเป็นการทดสอบความต้านทานของวัสดุภายใต้ความเค็ม หรือแรงที่ส่งผ่านมาขึ้นทดสอบคุณภาพร้าวร้าวสูงมาก โดยให้แรงกระทำต่อชิ้นทดสอบอย่างเฉียบพลันหากชิ้นทดสอบมีความต้านทานต่อแรงกระทำสูงกว่าแรงที่ได้รับชิ้นทดสอบจะไม่เกิดความเสียหาย แต่หากชิ้นทดสอบมีความต้านทานต่อแรงกระทำต่ำกว่าชิ้นทดสอบจะเกิดความเสียหาย การทดสอบความต้านทานแรงกระแทกเป็นการทดสอบในเชิงพลังงาน และความสามารถในการกระจายตัวของพลังงานที่ได้รับหรือ การสะสมพลังงาน ณ บริเวณใดบริเวณหนึ่งซึ่งเป็นจุดที่อ่อนแอกว่าสุด

ชุดทดสอบแรงกระแทกประกอบด้วย 2 ส่วนที่สำคัญคือ หัวค้อนฟ้าดแรงกระแทบและฐานสำหรับชิ้นทดสอบ โดยที่หัวค้อนฟ้าดแรงกระแทบนี้หลาบขนาดซึ่งจะสัมผัสนั้นกับค่าพลังงานที่ต้องการทดสอบ เมื่อหัวค้อนถูกปล่อยลงมาจะเกิดการฟ้าดแรงกระแทบกับชิ้นทดสอบพลังงานส่วนหนึ่งจะถูกชิ้นทดสอบดูดซับไว้ โดยหน่วยของค่าพลังงานที่ชิ้นทดสอบดูดซับไว้คือ J/mm^2 หรือ kJ/m^2 (จินตมัย, 2547) โดยค่าพลังงานที่ชิ้นทดสอบดูดซับสามารถคำนวณได้ตามสมการที่ 11

$$\text{พลังงานที่ชิ้นทดสอบดูดซับไว้} = \frac{\text{พลังงานที่ย่านจากเครื่องทดสอบแรงกระแทก (J)}}{\text{ความหนา (\text{mm})} \times \text{ความกว้าง (\text{mm})}} \quad (11)$$

2.8 อินฟราเรดสเปกโกรสโคปี (infrared spectroscopy) (พิมพ์จิต และวัชรินทร์, 2542)

รังสีอินฟราเรดเป็นส่วนหนึ่งของสเปกตรัมแม่เหล็กไฟฟ้าที่มีความยาวคลื่นอยู่ในช่วง 100-0.8 ไมโครเมตร (μm) และอยู่ในระหว่างย่านที่มองเห็น (visible region) และย่านไมโครเวฟ (microwave region) ซึ่งแสดงได้ดังตารางที่ 3

ตารางที่ 3 รังสีต่าง ๆ และความยาวคลื่น

รังสี	ความยาวคลื่น
ไมโครเวฟ	1 mm-10 cm
อินฟราเรด	100-0.8 μm
ย่านแสงมองเห็น	800-400 nm
ขั้คตราไวโอลेट	400-100 nm
รังสีเอ็กซ์	100-0.5 \AA°

二

รังสีอินฟราเรดแบ่งออกเป็น 3 ช่วง ดังนี้ รังสีอินฟราเรดช่วงไกล กลาง และใกล้ ซึ่งแสดงได้ตามตารางที่ 4 โดยนักเคมีอินทรีย์สนใจรังสีนี้เฉพาะในช่วง 650-400 cm^{-1} (15.0-2.5 ไมโครเมตร) ซึ่งเป็นรังสีอินฟราเรดช่วงกลาง เมื่อไม่เลกุลสารอินทรีย์คุดคลื่นพลังงานในช่วงนี้จะทำให้เกิดการสั่นของพันธะภายในไม่เลกุล

ตารางที่ 4 ความถี่และความยาวคลื่นของรังสี IR ย่านต่าง ๆ และปรากฏการณ์ที่เกี่ยวข้อง

	รังสี IR ไกล	รังสี IR กลาง	รังสี IR ใกล้
ความถี่ (cm^{-1})	14,300-4,000	4,000-650	650-200
ความยาวคลื่น (μm)	0.7-2.5	2.5-15	15-100
ปรากฏการณ์	โอลเวอร์โทนของการคุดคลื่นของพันธะ C-H	การสั่น	การคุดคลื่นของลิแกนเดสและสเปรซิฟิกที่มีพลังงานต่ำ

โนเลกุลสารอินทรีย์ส่วนใหญ่ทั้งที่มีโครงสร้างง่าย ๆ และโครงสร้างซับซ้อนให้อินฟราเรดสเปกตรัมที่ค่อนข้างซับซ้อน นักเคมีอินทรีย์ใช้ประโยชน์ของความซับซ้อนนี้ในการจับคู่สเปกตรัมของสารที่ทราบโครงสร้างแล้ว ความสัมพันธ์ของพิคต่อพิคเป็นข้อมูลที่สำคัญสำหรับการวิเคราะห์โครงสร้าง เนื่องจากโอกาสที่สาร 2 ชนิดให้สเปกตรัมที่เหมือนกันมีน้อยมากยกเว้นเมื่อเป็นอิเอนติโอมอร์ (enantiomers) IR สเปกตรัมเป็นลักษณะเฉพาะของสารทั้งโนเลกุลแต่พบว่าก่ออุ่นของอะตอม (หมุนฟังก์ชัน) ชนิดเดียวกันมักให้แอบคุดคลีน (absorption band) ที่เลขคู่ แต่เดียวกันหรือใกล้เคียงกัน โดยไม่คำนึงถึงโครงสร้างอื่น แต่ที่เกิดจากหมุนฟังก์ชันนี้ให้ข้อมูลที่เป็นประโยชน์ในการหาโครงสร้าง การหาโครงสร้างของสารต้องใช้ข้อมูลทางสเปกโทรสโคปีอื่น ๆ ร่วมกับข้อมูลที่ได้จาก IR สเปกตรัม ดังนั้นจึงไม่จำเป็นต้องวิเคราะห์ IR สเปกตรัมซึ่งมีลักษณะซับซ้อนอย่างละเอียด โดยที่การพิสูจน์โครงสร้างของสารโดยใช้วิธีอินฟราเรดสเปกโทรสโคปีนั้นทำได้โดยใช้เครื่องมือที่เรียกว่า อินฟราเรดสเปกโทรโฟโตมิเตอร์ (infrared spectrophotometer) ซึ่งแสดงได้ดังภาพผนวก ก

2.9 งานวิจัยที่เกี่ยวข้อง

二

Deng *et al.* (2002) ได้ศึกษาเกี่ยวกับการกราฟต์พอลิเมอ ไโรเจชันแบบหลอมเหลวและให้แสง ของมาเลอิกแอนไฮดริด (Maleic anhydride) บนพอลิเอชีลีนชนิดความหนาแน่นต่ำ โดยศึกษาผลของตัวแปรต่างๆ นั่นคือ อุณหภูมิของการฉายแสง ตัวเริ่มต้นที่แตกตัวขึ้นแสง (Photoinitiators) ความเข้มแสงอุลตราไวโอเลต (Intensity of UV radiation) และระยะห่างของรังสีอุลตราไวโอเลต ที่มีต่อการกราฟต์พอลิเมอ ไโรเจชัน เปอร์เซ็นต์การเปลี่ยนและประสิทธิภาพการกราฟต์ของการพอลิเมอ ไโรเจชันถูกวิเคราะห์โดยวิธีการชั่ง (Gravimetric method) รวมทั้งมุมตកกระทนบ (Contact angle) ของน้ำบนแผ่นพิล์มกราฟต์พอลิเมอร์ PE-g-PMAH และสเปกตรัม FTIR ของพิล์มกราฟต์พอลิเมอร์ได้ถูกวิเคราะห์ ซึ่งพบว่าเปอร์เซ็นต์การเปลี่ยนเพิ่มขึ้นกับอุณหภูมิของการฉายแสงที่เพิ่มขึ้น เปอร์เซ็นต์การเปลี่ยนจะเพิ่มขึ้นอย่างรวดเร็วอนๆ จุดหลอมเหลวของมาเลอิกแอนไฮดริด (Maleic anhydride) (ชั่ง 52°C).

Kim *et al.* (2002) รายงานถึงการพอลิเมอ ไโรเจชันแบบอันลัลชัน (Seeded emulsion polymerization) ของเมธิลเมทาไครเลต (Methyl methacrylate (MMA)) โดยใช้พอลิบูริเทนชนิดที่กระจายในน้ำ โดยศึกษาผลของส่วนเชิงที่มีต่อประสิทธิภาพการกราฟต์ ซึ่งส่วนเชิงนี้ประกอบไปด้วยไอโซฟอรอน ไดไอโซไซไซดานेट (Isophorone diisocyanate (IPDI)) และ ไดเมทธิลอล โพร์ไพรอ尼克 (dimethylol propionic acid (DMPA)) และแปรปริมาณจาก 19.6 ถึง 35.4% ผลของส่วนเชิง (IPDI และ DMPA) ที่มีต่อประสิทธิภาพการกราฟต์ยืนยันด้วยสเปกตรัมจาก FTIR และโครงสร้าง

กราฟฟิเบนบานงพร้อมทั้งเครื่องวัดแบบไฟฟ้าไอออนไนซ์ (Thin layer chromatograph equipped with flame ionization detector (TLC/FID)) ประสิทธิภาพการกราฟต์เพิ่มขึ้นกับปริมาณของส่วนเชิงที่เพิ่มขึ้น นั่นคือ IPDI และ DMPA จากการวิเคราะห์เชิงปริมาณของスペกตรัม FT-IR และการวิเคราะห์ TLC/FID พบร่วมกันที่สัมพัทธ์ของยอดแหลมของหมู่ N-H (1550 cm^{-1}) เปรียบเทียบกับปริมาณของ IPDI อย่างเป็นนัยสำคัญ ซึ่งจากผลการทดลองพันธะ N-H ในส่วนเชิงนั้นเป็นตัวสำคัญในปฏิกิริยาการกราฟต์ของ MMA

Liu et al. (2002) ศึกษาเกี่ยวกับระบบบริสุทธิ์แบบใหม่ ซึ่งประกอบไปด้วย โพเดสเซอิน ไคฟีเรียคเต้นนิเกลเลต-หางนม (Potassium diperiodatonickelate (Ni(IV))-casein) ซึ่งใช้ในการเริ่มต้นปฏิกิริยาการกราฟต์โโคพอลิเมอร์เรชันของบิวทิล อีไครเลต (Butyl acrylate) บนหางนม (Casein) ภายใต้สภาวะของผสม (Heterogeneous condition) ในสารละลายโพเดสเซอิน ไอกโรกไซด์ ความเข้มข้น 5% ซึ่งพบว่าให้ประสิทธิภาพการกราฟต์ และเปอร์เซ็นต์การกราฟต์ที่สูง การวิเคราะห์โครงสร้างและสมบัติของกราฟต์โโคพอลิเมอร์ ใช้วิถทางสเปกตรัสโคปีโดยใช้เครื่อง FTIR (FTIR spectroscopy) การวิเคราะห์ทางความร้อน (Thermal analysis) และภาพถ่ายทางกล้องชุลทรรศน์อิเลคตรอนแบบส่องกล้อง (Scanning electron microscopy) อิทธิพลของตัวแปรในการสังเคราะห์ในการกราฟต์โโคพอลิเมอร์เรชัน ได้แก่ ผลของแสงที่มีต่อประสิทธิภาพการกราฟต์ เปอร์เซ็นต์การกราฟต์ และอัตราเร็วในการพอลิเมอร์เรชัน (R_p) ผลของความเข้มข้น Ni(IV) ซึ่งเป็นตัวเริ่มต้น (Initiator) ในการกราฟต์โโคพอลิเมอร์เรชัน พบร่วมมือความเข้มข้น Ni(IV) เพิ่มขึ้น R_p จะเพิ่มขึ้นด้วย จนกระทั่งสูงสุดของความเข้มข้นของ Ni(IV) เท่ากับ 5.3×10^{-4} โนล/ลิตร R_p จะลดลง และสำหรับผลของอุณหภูมิของปฏิกิริยานั้น R_p เพิ่มขึ้นกับอุณหภูมิของปฏิกิริยาที่เพิ่มขึ้น จนกระทั่งอุณหภูมิถึง 40°C ค่าของ R_p จะลดลง

Kumar and Alagar (2002) ได้ทดลองเตรียมโโคพอลิเมอร์ตัวใหม่ของไวนิลออกซิอะมิโนใช้เลนกราฟต์บนเอธิลีน-โพร์ไฟลีน-ไคอีนเทอร์พอลิเมอร์ (Vinyloxyaminosilane grafted ethylene-propylene-diene terpolymer (EPDM-g-VOS)) ใน โลลูอีน โดยใช้ไคคิวมิล เปอร์ออกไซด์ (Dicumyl peroxide) เป็นตัวเริ่มต้น ประสิทธิภาพการกราฟต์ของไวนิลออกซิอะมิโนใช้เลนบนเอธิลีน-โพร์ไฟลีน-ไคอีน เทอร์พอลิเมอร์ (Ethylene-propylene-diene terpolymer (EPDM)) ได้ถูกศึกษาโดยเป็นฟังก์ชันของปริมาณ EPDM ระยะเวลาของปฏิกิริยา อุณหภูมิของปฏิกิริยา และความเข้มข้นของตัวเริ่มต้น และใช้สภาวะที่ให้ประสิทธิภาพการกราฟต์ที่สูงที่สุด การกราฟต์จะกระทำใน Haake Rheocord-90 torque rheometer. การกราฟต์ของ EPDM-g-VOS จะถูกยืนยันโดยใช้เทคนิคทางสเปกตรัสโคปี (Fourier-transform infrared spectroscopy) สมบัติทางเชิงกล ความร้อน และไฟฟ้า ของ EPDM-g-VOS ที่วัดค่าไนซ์ด้วยน้ำร้อน และ EPDM ที่วัดค่าไนซ์ด้วยเปอร์ออกไซด์ ถูก

นำมาเปรียบเทียบ ซึ่งสมบัติทางเชิงกลของ EPDM-g-VOS ลดลงกับความสามารถในการหักงอในส่วนของ VOS อย่างไรก็ตามสมบัติทางอุณหภูมิ และไดอิเลคทริก เพิ่มขึ้นกับการกราฟต์ของ VOS บน EPDM เช่นเดียวกับรูปแบบของความเสถียรทางอุณหภูมิในโครงสร้างทางสามมิติผ่านจุดเรือน้ำ Si-O-Si-

Wang *et al.* (2002) ได้สังเคราะห์และกราฟต์โคพอลิเมอร์ของเด็กซ์ทราย (Dextran) กับพอลิ(*N*-ไอโซโพร์พิลอะคริลามิด) (Poly(*N*-isopropylacrylamide)) (PNIPAAm)) และรายงานว่า กราฟต์โคพอลิเมอร์สามารถใช้ในการสร้างไนเซลล์พอลิเมอร์ ในลักษณะของตัวพาของชา สังไปยังส่วนปลายของคำว่าให้ใหญ่ โครงสร้างของกราฟต์โคพอลิเมอร์วิเคราะห์ได้ FTIR ¹H and ¹³C-NMR เปอร์เซ็นต์ของไฮโดรเจโนพอลิเมอร์ (H%) ประสิทธิภาพการกราฟต์ (GE%) และเปอร์เซ็นต์การกราฟต์ (G%) ของโคพอลิเมอร์เพิ่มขึ้นกับการเพิ่มขึ้นของปริมาณของเซอริกะตะลิสต์ (Ceric catalyst) ระยะเวลาในการกราฟต์เพิ่มขึ้นจะทำให้ GE% และ G% ของโคพอลิเมอร์เพิ่มขึ้น การกราฟต์ที่อุณหภูมิสูงจะทำให้ GE% และ G% เพิ่มขึ้นอย่างไรก็ตามเมื่ออุณหภูมิของปฏิกิริยาเกิน LCST ของโคพอลิเมอร์ ค่าของ GE% และ G% จะลดลง และการวัดทางการหักเหของแสง (Dynamic light scattering measurement) พบว่ากราฟต์โคพอลิเมอร์จากไนเซลล์อยู่ในรูปทรงกลม และสำหรับโคพอลิเมอร์ที่มี G% เท่ากับ 33.8% จะอยู่ในรูปไนเซลล์ (Micelle) ที่มีเส้นผ่าศูนย์กลางต่ำกว่า 30 nm ในสารละลาย

Hoang *et al.* (2001) ได้รายงานถึงการปรับปรุงความเข้ากันในพอลิเมอร์ผสมสองชนิดคือ พอลิสไตรีน-โโค-อะคริโลไนไตรีล (Poly(styrene-co-acrylonitrile)) (SAN) และบานอีพีดีเอ็ม (Ethylene-propylene-diene terpolymer (EPDM)) โดยใช้การกราฟต์เมธิลเมทาไครเลต (Methyl methacrylate (MMA)) บนบานอีพีดีเอ็ม (EPDM-g-methyl methacrylate (EPMMA)) ซึ่งพบว่าบานอีพีดีเอ็มที่ได้ทำการกราฟต์เมธิลเมทาไครเลต แล้วนั้น สามารถช่วยในการเข้ากันของ SAN และ บาน EPDM ได้ดี สำหรับ EPMMA สมบัติด้านการมีความเป็นขึ้นๆ การติด ความต้านทานต่อน้ำมัน และ ความต้านทานต่อการดึง เมื่อเปรียบเทียบกับ EPDM. โดยความเข้ากันของ SAN/EPDM สามารถวิเคราะห์ได้จาก light scattering และ FT-IR spectra.

Izumi *et al.* (2001) ปรับปรุงความเสถียรต่อรังสีของพอลิเมอร์สายโซ่ต่อง โดยศึกษาการฉ่ายรังสีเพื่อทำให้เกิดปฏิกิริยาการกราฟต์พอลิเมอไรเซชันของ ไนไตรีบันพอลิเอทธิลีนความหนาแน่นค่า (LDPE) งานวิจัยครั้งนี้ศึกษาการฉ่ายรังสีอย่างต่อเนื่องและการฉ่ายรังสีในตอนต้น เปอร์เซ็นต์การกราฟต์เปลี่ยนตามความเข้มข้นของอนอนเมอร์ และความเข้มของรังสี โดยที่ประสิทธิภาพการกราฟต์จะลดลงจากการเพิ่มของการพอลิเมอไรซ์ ไนไตรีบันอย่างเดียว ในช่วงความเข้มข้นของอนอนเมอร์ (<3 wt%) เปอร์เซ็นต์การกราฟต์ค่อนข้างเป็นสัดส่วนกับความเข้มข้นของส

ไตรีน อย่างไรก็ตามเปอร์เซ็นต์กราฟท์จะเพิ่มขึ้นและคงที่ที่ความเข้มข้นของสไตรีนสูง ในทางตรงกันข้าม พอลิเมอร์ที่มีการกราฟท์สูงมากสามารถเตรียมได้จากการฉายรังสีในตอนดัน กราฟท์โคพอลิเมอร์สามารถถูกวิเคราะห์ปริมาณของวงแหวนฟีนิล (Phenyl ring) ของสไตรีนอนอเมอร์ทำได้โดยใช้ FT-IR spectroscopy.

Prasassarakich *et al.* (2001) ได้รายงานถึงการกราฟท์โคพอลิเมอไรเซชันของสไตรีนและอะคริโลไนไตรล์ บนยางธรรมชาติ ที่เตรียมจากกระบวนการพอลิเมอไรเซชันแบบอัมลชัน ใช้ไปแคสเซียมเปอร์ซัลเฟตเป็นตัวเริ่มดัน โดยศึกษาอิทธิพลความเข้มข้นของตัวเริ่มดัน อุณหภูมิของปฏิกิริยา และความดัน ที่มีต่อการเปลี่ยนของอนอเมอร์เป็นพอลิเมอร์และสมบัติการกราฟท์ของยางธรรมชาติ การเปลี่ยนของอนอเมอร์เป็นพอลิเมอร์เพิ่มขึ้นกับการเพิ่มขึ้นของตัวเริ่มดัน ปริมาณการกราฟท์จะสูงขึ้นเมื่อพอลิเมอไรซ์ที่อุณหภูมิ 70°C ความดัน 3.1 บาร์ ระยะเวลาการทำปฏิกิริยา 8 ชั่วโมง และความเข้มข้นตัวเริ่มดัน 1.5 ส่วน โดยน้ำหนัก สเปกตรัม FTIR ของยางกราฟท์ได้ถูกศึกษาและแสดงให้เห็นว่ามีกคุณในไตรล์ ($\text{C}\equiv\text{N}$ stretching) เกิดขึ้นที่ 2238 cm^{-1} และพันธะคู่คาร์บอน ($\text{C}=\text{C}$ stretching) ของวงแหวนเบนซินในสไตรีน ปรากฏที่ 1510 cm^{-1} ซึ่งยืนยันให้เห็นว่ามีการกราฟท์ของอะคริโลไนไตรล์ และสไตรีนบนยางธรรมชาติเกิดขึ้น องค์ประกอบของโคพอลิเมอร์สามารถวิเคราะห์จากการวิเคราะห์ธาตุองค์ประกอบน เมื่อทดสอบยางธรรมชาติที่กราฟท์แล้ว กับสไตรีโนอะคริโลไนไตรล์โคพอลิเมอร์ (SAN) นำยางบดผสมที่ได้มาศึกษา ผลขององค์ประกอบน การผสมที่มีต่อความทนต่อแรงดึง ความทนต่อแรงกระแทก และความแข็ง ซึ่งพบว่ายางธรรมชาติที่กราฟท์แล้วนั้นสามารถปรับปรุงสมบัติการทานต่อแรงกระแทกของโคพอลิเมอร์ SAN ได้.

Zhou *et al.* (2001) ศึกษาการกราฟท์โคพอลิเมอไรเซชันของกรดโอลิอิกบนอะคริโลไนไตรล์-บิวตะไคอีน-สไตรีนเทอร์พอลิเมอร์ (Acrylonitrile-butadiene-styrene (ABS)) terpolymer) ซึ่งเริ่มดันปฏิกิริยาโดยบิวทิลเปอร์ออกไซด์ (Butyl peroxide (BPO)) ในสารละลาย 1,2 ไครอโรอิเคน (1,2 Dichloroethane) โดยใช้การวิเคราะห์ทางสเปกตรัมอินฟราเรด IR เพื่อยืนยันการกราฟท์ของกรดโอลิอิกบนสายโซ่ ABS และศึกษาอิทธิพลของความเข้มข้นของกรดโอลิอิก บิวทิล เปอร์ออกไซด์ และ ABS ที่มีต่อการกราฟท์ โดยการกราฟท์พูนว่าเกิดบริเวณของบิวตะไคอีนที่มีใน ABS กลไกปฏิกิริยาได้ถูกสร้างขึ้นโดยให้การกราฟท์ส่วนใหญ่น่าจะเกิดขึ้นโดยการสินสุคระหว่างอนุมูลอิสระกรดโอลิอิกกับอนุมูลอิสระของ ABS อัตราเร็วของการกราฟท์เพิ่มขึ้นกับการเพิ่มขึ้นของความเข้มข้นของกรดโอลิอิกจนกระทั่งถึงจุดสูงสุดที่ 0.3 ไมล/ลิตร จากนั้นจึงลดลง

Chuahan *et al.* (2000) ศึกษาจลนพลศาสตร์ของการกราฟท์ 4-ไวนิลไพริดีนบนเซลลูโลสที่สกัดมาจากสนเข็ม โดยการใช้คลีนรังสี พูนว่าเปอร์เซ็นต์การกราฟท์ ประสิทธิภาพการกราฟท์ เปอร์เซ็นต์การเปลี่ยนของพอลิเมอร์ในการกราฟท์ และ ไอกโนพอลิเมอร์ เป็นพังก์ชันกับ

ความเข้มของคลื่นรังสี ความเข้มข้นของอนอมอร์ และปริมาณของน้ำ ซึ่งพบว่าทั้งความเข้มของคลื่นความถี่ และความเข้มข้นของอนอมอร์ทำให้การกราฟต์เพิ่มขึ้นและลดลงไม่แน่นอน อย่างไรก็ตาม อัตราเร็วในการพอลิเมอไรเซชันก็ยังแสดงให้เห็นถึงความไม่แน่นอน แต่เพิ่มขึ้นกับความเข้มข้นที่เพิ่มขึ้นกับความเข้มข้นของอนอมอร์และความเข้มของรังสี

Chen *et al.* (2000) ศึกษาการปรับปรุงทางเคมีของผงพอลิ อะโนลีน โดยการกราฟต์โคพอลิเมอไรเซชันบนผิว พบร่วมปริมาณการกราฟต์เพิ่มขึ้นกับความเข้มข้นของอนอมอร์ และอุณหภูมิของปฏิกิริยาที่ใช้ในการกราฟต์โคพอลิเมอไรเซชัน การมีเกลือมอหร์ป้องกันไม่ให้เกิดโซโนพอลิเมอร์ได้อย่างมีประสิทธิภาพมาก อัตราเร็วในการเริ่มต้นปฏิกิริยาและอัตราเร็วของการเพร์ของอนอมอร์บนผิวของผงพอลิเมอร์คาดว่าจะขึ้นอยู่กับอุณหภูมิของปฏิกิริยาการพอลิเมอไรเซชัน และเพิ่มขึ้นอย่างเป็นนัยสำคัญในอุณหภูมิช่วงระหว่าง 40 และ 60°C อุณหภูมิสูงสุดในช่วงของกราฟต์โคพอลิเมอไรเซชันผงอีเมอรัลเดิน (Emeraldine (EM)) กับ AAc ในช่วงระหว่าง 60 and 90°C พบร่วมเปอร์เซ็นต์กราฟต์สูงสุดที่ได้คือ 40 wt.%

Das and Saikia (2000) ทำการกราฟต์โคพอลิเมอไรเซชันเมธิลเมทาไครเลต (Methyl methacrylate (MMA)) บนเส้นใยไหม (non-mulberry silk fibre *Antheraea assama*) ที่ใช้ระบบรีดีอกซ์ที่ใช้ไฮโดรเจนเปอร์มังกานेट-กรดออกซาลิก จากการศึกษาผลของปัจจัยในการกราฟต์ คือ ความเข้มข้นของอนอมอร์ และตัวเริ่มต้น เวลา และอุณหภูมิ พบร่วมปริมาณการกราฟต์จะเพิ่มขึ้นอย่างเป็นนัยสำคัญกับความเข้มข้นของอนอมอร์และความเข้มข้นของตัวเริ่มต้นที่เพิ่มขึ้น Mn(IV) ขนาด 6×10^{-3} M แต่ลดลงหลังจากนั้น อัตราเร็วในการกราฟต์เพิ่มขึ้นกับเวลาที่เพิ่มขึ้นจนกระทั้งที่ 4 ชั่วโมงจากนั้นจึงลดลง นอกจากนี้ยังขึ้นอยู่กับอุณหภูมิของปฏิกิริยาด้วย และที่ 50°C จะได้ปริมาณการกราฟต์สูงสุด ปริมาณการกราฟต์เพิ่มขึ้นกับอุณหภูมิที่เพิ่มขึ้นถึง 50°C จากนั้นการเพิ่มขึ้นจะค่อยๆ ลดลง

Dong and Hsieh (2000) รายงานว่า โปรตีนหางนมชั้งละลายน้ำ 5% เอเชาโนลาเมีน ไตรเอธิลามีน และ ไตรเอเชาโนลาเมีน แต่ไม่ละลายน้ำตัวทำละลายอนินทรีย์ การกราฟต์โคพอลิเมอไรเซชันของหางนม (40 กรัม/ลิตร) กับอะคริโลไนโตรล (AN) จะทำในสารละลายน้ำ 5% w/v ไตรเอเชาโนลาเมีน (5% w/v aq. Triethanolamine) ที่ 60°C ใช้ไฮโดรเจนเปอร์ซัลเฟตเป็นตัวเริ่มต้น เปอร์เซ็นต์การกราฟต์และประสิทธิภาพการกราฟต์เพิ่มขึ้นกับการเพิ่มขึ้นของความเข้มข้นของตัวเริ่มต้น และเวลาของปฏิกิริยา แต่ลดลงกับอัตราส่วน M/AN การยืนยันการเกิดอะคริโลไนโตรล-กราฟต์-หางนม (Acrylonitrile-grafted-casein (AN-g-casein)) ทำได้โดยการใช้อินฟราเรด สเปกโตรสโคปี (Fourier transform infrared spectroscopy) ภายใต้สภาวะปฏิกิริยา สายโซ่กราฟต์ PAN จะวิเคราะห์โดยใช้วิธีโกรมาไตรกราฟฟี (Gel permeation chromatography) พบร่วมมิ M_n ระหว่าง 1.58 และ 5.88×10^4 ค่าล

ดัน และมีการกระจาย (Polydispersibilities) ระหว่าง 2.6 และ 4.5 AN-g-casein copolymers จะเห็นอ่อนการนิโซโนพอลิเมอร์ PAN ในหางนม โดยมีค่า T_g อยู่ในช่วง 255 และ 273 °C ซึ่งใกล้เคียงกับค่า T_g ของโซโนพอลิเมอร์ PAN (275°C) และสูงกว่าหางนม (180°C) และ AN-g-casein สามารถละลายได้ใน 50% aq. NaSCN และ ZnCl₂ แต่ไม่ละลายใน 32:28:40 wt% CaCl₂/CH₃CH₂OH/H₂O เหนือนกับ PAN และ ไดเมทิลฟอร์มามิด (Dimethylformamide) เหนือนกับหางนม

Grigoryeva and Karger-Kocsis (2000) รายงานว่าการกราฟ์มาเลอิกแอนไซเครต (Maleic anhydride (MAH)) บนยางเอธิลีน-โพไรเพลี่น-ไครอีน เทอร์โพลิเมอร์ (Ethylene-propylene-diene terpolymer (EPDM)) ที่มีปริมาณเอธิลีนสูง (= 74 wt%) ในสภาวะหลอมเหลวโดยมีเปลอร์ออกไซด์เป็นตัวเริ่มต้น โดยใช้รีบราวน์เดอร์ พลาสติกอเดอร์ (Brabender Plasticorder) ประสิทธิภาพการกราฟ์และองค์การเชื่อมโยง (Crosslinking degree) ของยาง EPDM ที่กราฟ์แล้ว (EPDM-g-MAH) วัดโดยวิธีทางสเปกโตรโคปี (FTIR spectroscopy) และการสกัดด้วยไอกีน (Xylene extraction) ตามลำดับ ซึ่งประสิทธิภาพการกราฟ์และองค์การเชื่อมโยงจะได้รับอิทธิพลจากปริมาณของ MAH และเปลอร์ออกไซด์ (2,5-dimethyl-2,5-di-(α -butylperoxy)hexane) ตามลำดับ ที่ความเข้มข้นต่ำที่สุดของ MAH (<5 wt%) และ เปลอร์ออกไซด์ (<0.2 wt%) จะทำให้ได้การกราฟ์ของ MAH ที่ปริมาณการเจลต่ำ ความเข้มข้นของ MAH เพิ่มขึ้นจะทำให้เปลอร์เซ็นต์การเปลี่ยนของ MAH ลดลงเล็กน้อย ที่ปริมาณ MAH 2% จะให้ปริมาณการกราฟ์ของ MAH สูง โดยองค์การกราฟ์ต่ำที่สุด นอกจากนี้พบว่าปริมาณการเชื่อมโยงค่อนข้างสูง (ปริมาณ 45%) โดยสรุป พบว่าปริมาณของอนุมูลอิสระของ MAH บนยาง EPDM ไม่ได้ทำปฏิกิริยาโดยตรงกับ MAH แต่เกิดปฏิกิริยาการเชื่อมโยง (Crosslinking reaction) และการหดปฏิกิริยาโดยการแลกเปลี่ยนอนุมูลอิสระกัน (Disproportionation reaction) ที่ปริมาณของ MAH สูงถึง 7% โดยน้ำหนัก ไม่ได้ทำให้องค์การกราฟ์เพิ่มขึ้น เมื่อเพิ่มปริมาณของ MAH ไปจนถึง 10% โดยน้ำหนัก จะทำให้องค์การกราฟ์ลดลง นอกจากนี้ เปลอร์เซ็นต์การเปลี่ยนของ MAH เพิ่มขึ้นกับอุณหภูมิที่เพิ่มขึ้น แต่สำหรับการเพิ่มขึ้นของความเข้มข้นของเปลอร์ออกไซด์จะทำให้เปลอร์เซ็นต์การเปลี่ยนลดลงเล็กน้อย สำหรับตัวแปรของกระบวนการทดลอง เช่น อุณหภูมิในการผสม เวลา ความเร็วของ โรเตอร์ และปริมาณที่ใช้ภายในห้องผสมมีผลกระทบต่อการแข่งขันระหว่างการกราฟ์กับการเชื่อมโยง

จรัญ (2547) ได้ทำการศึกษาการเตรียมกราฟ์โดยพอลิเมอร์ของยางธรรมชาติ กับพอลิอะคริโลไนไครล์โดยวิธีพอลิเมอไรเซชันแบบอินบัชชันในปฏิกิริณแบบกึ่งแบบห้าระดับ ห้องปฏิบัติการ (laboratory semi-batch reactor) โดยจุดประสงค์หลักของงานวิจัยนี้ก็เพื่อประยุกต์ใช้กราฟ์โดยพอลิเมอร์ที่เตรียมได้ในงานทันน้ำมันและตัวทำละลายไม่มีข้าวโดยใช้น้ำมันดีเซล และโกลูอินแทนน้ำมัน และตัวทำละลายไม่มีข้าว ตามลำดับ โดยทำการศึกษาผลกระทบของการ

ทำปฏิกริยา ความเข้มข้นของอนอมอร์ ความเข้มข้นของดัรริเริ่มปฏิกริยา และอุณหภูมิปฏิกริยา ที่มีต่อร้อยละการเปลี่ยน ประสิทธิภาพในการกราฟต์ ร้อยละการกราฟต์ พื้นที่ไดกราฟของ $-C\equiv N$ สมบัติของกราฟต์โโคพอลิเมอร์ และอัตราการการเกิดโพลิเมอไรเซชัน ซึ่งจากการทดลองพบว่าร้อยละการเปลี่ยน ร้อยละการกราฟต์ พื้นที่ไดกราฟของ $-C\equiv N$ อัตราการเกิดโพลิเมอไรเซชัน ขนาดอนุภาคของน้ำแข็งกราฟต์โโคพอลิเมอร์ และสมบัติการทนต่อน้ำมันและดั้วทำละลายไม่มีข้าว มีค่าเพิ่มขึ้นตามการเพิ่มของความเข้มข้นของอนอมอร์ ความเข้มข้นของดัรริเริ่มปฏิกริยา และอุณหภูมิปฏิกริยา ในส่วนของประสิทธิภาพในการกราฟต์พบว่ามีค่าเพิ่มขึ้น เมื่อเพิ่มอุณหภูมิของปฏิกริยาถึงค่าหนึ่ง กราฟต์โโคพอลิเมอร์ที่เตรียมได้มีคุณสมบัติในการทนต่อน้ำมันและดั้วทำละลายไม่มีข้าวศึกษามากเมื่อเทียบกับยางธรรมชาติ โดยที่ร้อยละของการบวมพองในน้ำมันปีโตรเลียม และดั้วทำละลายไม่มีข้าวมีค่าลดลงประมาณ 5 เท่า

เจริญ และคณะ (2543) ได้ทำการศึกษาปฏิกริยาการกราฟต์โโคพอลิเมอไรเซชันของยางธรรมชาติ และน้ำยางขันชนิดแย่ม โนเนียสูงด้วยเมธิลเมทาคริเลท (MMA) โดยน้ำยางธรรมชาติถูกสักด้วยปริศนออกโดยใช้เอนไซม์ และนำยางธรรมชาติที่สักด้วยปริศนออกแล้ว กับน้ำยางธรรมชาติชนิดแย่ม โนเนียสูง นำกราฟต์ด้วยเมธิลเมทาคริเลท แล้วนำกราฟต์โโคพอลิเมอร์ที่ได้มาเปรียบเทียบ กับจากการศึกษาพบว่าการเปลี่ยนของอนอมอร์ เป็นพอลิเมอร์ของน้ำยางธรรมชาติที่สักด้วยปริศนออกแล้วนั้น มีค่าสูงกว่าน้ำยางธรรมชาติชนิดแย่ม โนเนียสูงในทุก ๆ ปริมาณของเมธิลเมทาคริเลทที่ใช้ และปริมาณของ PMMA ที่ケーオอยู่บนสายโซ่ไม่แตกต่างจากน้ำยางธรรมชาตินั้นเพิ่มขึ้นตามปริมาณของ MMA ที่ใช้ และนอกจากนี้ยังพบว่าหากโนเนียลกูลเฉลี่ยของพอลิเมอร์ทั้ง 2 ระบบ มีขนาดเพิ่มขึ้นตามปริมาณ MMA ที่ใช้ในการทำปฏิกริยาด้วย

Makhloouf et al. (2007) ได้ทำการศึกษาการกราฟต์โโคพอลิเมอร์ของกรดอะคริลิก ลงบนเส้นใยพอลิเอไมค์ (PA 6.6) โดยใช้ Benzoyl peroxide (BPO) เป็นดัรริเริ่มปฏิกริยา จากการทดลองพบว่า อัตราการกราฟต์ขึ้นอยู่กับความเข้มข้นของกรดอะคริลิก ความเข้มข้นของริเริ่มปฏิกริยา เวลา และอุณหภูมิในการทำปฏิกริยา โดยสภาวะที่เหมาะสมที่ได้จากการทดลองคือความเข้มข้นของกรดอะคริลิก เท่ากับ 0.5 M ความเข้มข้นของดัรริเริ่มปฏิกริยา เท่ากับ 0.03 M อุณหภูมิในการทำปฏิกริยา เท่ากับ 85°C และเวลาในการทำปฏิกริยา เท่ากับ 120 นาที

Cho and Lee (2002) ได้ทำการศึกษาปฏิกริยาพอลิเมอไรเซชันแบบอิมัลชันเพื่อเตรียม Starch-g-Polystyrene โดยมี Potassium persulfate (KPS) Sodium dodecylbenzenesulfonate (SDBS) และ Tetraethylthiuram disulfide (TETDS) เป็นดัรริเริ่มปฏิกริยา อิมัลซิไฟเออร์ และตัวเคลื่อนย้ายสายโซ่ ตามลำดับ จากการทดลองพบว่า เมื่อเวลาในการทำปฏิกริยา และความเข้มข้นของอิมัลซิไฟเออร์เพิ่มขึ้น ร้อยละการกราฟต์มีค่าเพิ่น และจะมีค่าลดลงเมื่อเพิ่มความเข้มข้นของ

TETDS โดยในส่วนของขนาดอนุภาคของโพลิเมอร์ มีค่าลดลงเมื่อทำการให้ความร้อนก่อนนำไปทำปฏิกิริยาการกราฟต์โดยโพลิเมอร์ไวเซ็น

Dong and Gu (2002) ได้ทำการศึกษาปฏิกิริยาการกราฟต์โดยโพลิเมอร์ไวเซ็นของอะคริโลนไตรีบีนในไครล์ลงบันเคชิน (Casein) ในสารละลายน้ำของโซเดียมไนโตรไซยาเนต และวิเคราะห์โดยวิธี FT-IR โดยตัวแปรที่ทำการศึกษาคือ ผลจากความเข้มข้นของมอนомнอมอร์ ความเข้มข้นของตัวเริ่ม อุณหภูมิของปฏิกิริยา และเวลาในการทำปฏิกิริยา โดยมีผลต่อ Yield of polymerization (Y), Percent of grafting (%G) และ Grafting efficiency (GE) โดยค่าทั้ง 3 เพิ่มขึ้นเมื่อเพิ่มความเข้มข้นของมอนомнอมอร์ ความเข้มข้นของตัวเริ่ม และอุณหภูมิในการทำปฏิกิริยา แต่ที่อุณหภูมิ 75°C ค่า GE และ %G ลดลง และในส่วนของค่า Y เพิ่มขึ้นในลักษณะเป็นเชิงเส้นเมื่อเวลาเพิ่มขึ้นจนถึง 60 นาที และหลังจากนั้นจะคงที่เมื่อเวลาผ่านไป 120 นาที .

Oliveira et al. (2005) ได้ทำการศึกษาปฏิกิริยาการเตรียมกราฟต์โดยโพลิเมอร์ของยางธรรมชาติกับ Dimethylaminoethyl methacrylate (DMAEMA) โดยใช้ระบบตัวเริ่มปฏิกิริยาแบบบริคอกซ์ ได้แก่ Cumene hydroperoxide (CHP) และ Tetraethylenepentamine (TEPA) ในงานวิจัยนี้ทำการศึกษาผลกระบวนการปริมาณอนอมอร์ที่ใช้ โดยพิจารณาค่าประสิทธิภาพในการกราฟต์ สัมฐานวิทยาของกราฟต์โดยโพลิเมอร์ และ Gel fraction ซึ่งจากการทดลองพบว่า ประสิทธิภาพในการกราฟต์มีค่าสูงสุด เมื่อใช้ DMAEMA ร้อยละ 20-30 โดยน้ำหนัก และสัมฐานวิทยาของกราฟต์โดยโพลิเมอร์ที่ได้คือ Poly (Dimethylaminoethyl methacrylate) จะหุ้นอยู่รอบอนุภาคของยางธรรมชาติ ซึ่งหาได้โดยใช้ Transmission Electron Microscopy (TEM)

Sudarjanto et al. (2006) ทำการศึกษาหาสภาวะที่เหมาะสมของการถ่ายตัวแบบพสมพسانระหว่างวิธีการทางเคมี และชีวภาพของสีข้อม โดยใช้ Response Surface Method ในการออกแบบการทดลองและหาสภาวะในการทดลองที่เหมาะสม ซึ่งในการทดลองได้ใช้แสงอัตตราไฟฟ้าอิเลต และไชโครเจนเปอร์ออกไซด์ ร่วมกับการย้อมสลายทางชีวภาพแบบใช้อากาศทำการย้อมสลายสีข้อม C.I. Reactive Azo Red 195A โดยงานวิจัยนี้ทำการศึกษาอิทธิพลของระยะเวลาของการถ่ายแสงอัตตราไฟฟ้าอิเลต ปริมาณไชโครเจนเปอร์ออกไซด์เริ่มต้น และสัดส่วนการหมุนเวียนในระบบ ที่มีต่อประสิทธิภาพการกำจัดสี และสภาวะในการดำเนินการที่เหมาะสม โดยวัดค่าออกมาในรูปของ ความเข้มข้นของสีข้อม และ Soluble Chemical Oxygen Demand (S-COD) ซึ่งจากการทดลองที่ได้จาก RSM ของงานวิจัยนี้ แสดงให้เห็นว่า RSM มีประสิทธิภาพ และประโยชน์มากในการทำนายประสิทธิภาพของระบบและบ่งชี้สภาวะของการทดลองที่ทำให้ได้ค่าการย้อมสลายสีข้อมสูงที่สุด โดยใช้วิธีการย้อมสลายแบบพสมพسانระหว่างวิธีการทางเคมีและชีวภาพ

Ravikumar et al. (2005) ได้ทำการศึกษาพารามิเตอร์ที่เหมาะสมในการคุณซับสีข้อมแบบแบบทซ์โดยใช้ Response Surface Method ใน การออกแบบการทดลองและหาสภาวะในการทดลองที่เหมาะสม ซึ่งสีข้อมที่ใช้ในการทดลองนี้ได้แก่ Astrazine Blue FRR (Basic Blue 69) และ Teflon Blue (Acid Blue 125) ส่วนตัวคุณซับที่ใช้ได้นำจากไฟโรลิชิสระหว่างการบอน และถ้าลองในอัตราส่วน 1 : 1 โดยงานวิจัยนี้ใช้ 2^4 full factorial central composite design ใน การออกแบบการทดลอง และวิเคราะห์ผลการทดลอง จะได้ว่าจากผลการทดลองและสภาวะที่เหมาะสมของการทดลองที่ได้แสดงให้เห็นว่า RSM เป็นวิธีการที่เหมาะสมในการหาสภาวะที่เหมาะสมในการทดลอง และหาค่าการกำจัดสีสูงสุดของระบบ

ข้อสรุปข้อมูลจากการค้นคว้า : งานวิจัยที่เกี่ยวข้องกับปฏิกริยาการสังเคราะห์กราฟต์โคลophilic โดยการทำปฏิกริยา polyimide ไตรเชชันแบบอินลัชันมีมากน้อยโดยจากการค้นคว้างานวิจัยที่เกี่ยวข้องในเรื่องนี้พบว่าตัวแปรที่มีอิทธิพลต่อสภาวะในการทำปฏิกริยาได้แก่ อุณหภูมิ ความเข้มข้นขององนอนเมอร์ และความเข้มข้นของดิบเริ่มปฏิกริยา ซึ่งข้อดีของปฏิกริยา polyimide ไตรเชชันแบบอินลัชันคือ ความหนืดของสารทำปฏิกริยาต่ำ ควบคุมอุณหภูมิได้ดี และผลิตภัณฑ์ที่ได้สามารถนำไปใช้ได้ทันทีหลังจากปฏิกริยาสิ้นสุด โดยในงานวิจัยนี้เป็นการดำเนินการในระดับปฏิกริณ์กึ่งแบบทซ์ขนาดต้นแบบ ปริมาตร 50 ลิตร ใช้การออกแบบการทดลองและหาสภาวะที่เหมาะสมในการทำปฏิกริยาโดยใช้เทคนิค RSM งานวิจัยโดยส่วนใหญ่จากการค้นคว้าและเกี่ยวข้องกับงานวิจัยนี้เป็นงานที่ไม่ได้ออกแบบการทดลองโดยใช้เทคนิค RSM